



ФГБУ «Арктический и антарктический научно-исследовательский институт»
МЦД МЛ

Информационные материалы по мониторингу морского ледяного покрова Арктики и Южного Океана на основе данных ледового картирования и пассивного микроволнового зондирования SSMR-SSM/I-SSMIS-AMSR₂

21.08.2023 – 29.08.2023

№ 34(621)

Санкт-Петербург 2023

тел. +7(812)337-3149, эл.почта: vms@aari.aq

Адрес в сети Интернет: <http://wdc.aari.ru/datasets/doo42/>

Содержание

Северное Полушарие	4
Рисунок 1а – Ледовая карта СЛО и повторяемость кромки за текущую неделю (цветовая окраска по общей сплоченности)	
Рисунок 1б – Ледовая карта СЛО и повторяемость кромки за текущую неделю (цветовая окраска по преобладающему возрасту)	
Рисунок 1в – Положение кромки льда и зон разреженных и сплоченных льдов СЛО за последний доступный срок на основе ледового анализа НЛЦ США	7
Рисунок 2а – Обзорная ледовая карта СЛО за текущую неделю и аналогичные периоды 2007-2019 г.г.	9
Рисунок 2б – Поля распределения средневзвешенной толщины льда совместной модели морского льда – океана HYCOM/CICE Датского метеорологического института	10
Рисунок 2в – Поля распределения средней за 36-часовые промежутки температуры поверхности морского льда и океана Датского метеорологического института	11
Рисунок 2г – Поле дрейфа морского льда Арктики по расчетам МЦД МЛ ААНИИ, источник данных EUMETSAT OSISAF, AMSR-2	12
Рисунок 2д – Ежедневные оценки сезонного хода объема морского льда СЛО на основе расчетов средневзвешенной толщины льда совместной модели морского льда – океана HYCOM/CICE Датского метеорологического института	13
Рисунок 2е – Аномалии приземной температуры воздуха (2м) и осредненные вектора скорости ветра (10 м)	14
Таблица 1 – Динамика изменения значений ледовитости для акваторий Северной полярной области за текущую неделю по данным наблюдений SSMR-SSM/I-SSMIS	16
Таблица 2 – Медианные значения ледовитости для Северной полярной области и 3-х меридиональных секторов за текущие 30 и 7-дневные интервалы и её аномалии от 2011-2016 гг. и интервалов 2006-2017 гг. и 1978-2017 гг. по данным наблюдений SSMR-SSM/I-SSMIS	16
Таблица 3 – Экстремальные и средние значения ледовитости для Северной полярной области и 3 меридиональных секторов за текущий 7-дневный интервал по данным наблюдений SSMR-SSM/I-SSMIS, алгоритм NASATEAM	16
Рисунок 3а – Ежедневные оценки сезонного хода ледовитости для Северной Полярной Области и её трех меридиональных секторов за период с 26.10.1978 по текущий момент времени по годам. ..	19
Рисунок 3б – Ежедневные оценки сезонных изменений ледовитости для Северной Полярной Области с 26.10.1978 по текущий момент времени	20
Рисунок 4 – Медианные распределения сплоченности льда за текущие 7 дневные промежутки (слева) и её разности относительно медианного распределения за те же промежутки за периоды 1979-2020 (центр) и 2009-2020 гг. (справа) на основе расчетов по данным SSMR-SSM/I-SSMIS, алгоритмы NASATEAM	
Южный океан	21
Рисунок 5 а,б – Ледовая карта Южного Океана за последний доступный срок (окраска по общей сплоченности и преобладающему возрасту)	19,22
Рисунок 5в – Положение кромки льда и зон разреженных и сплоченных льдов Южного Океана за последний доступный срок на основе ледового анализа НЛЦ США.	23
Рисунок 5д – Анализ ААНИИ крупных айсбергов Южного океана	
Таблица 4 – Параметры крупных айсбергов Южного океана на основе анализа ААНИИ	23
Рисунок 7а – Ежедневные оценки сезонного хода ледовитости Южного Океана и его трёх меридиональных секторов за период с 26.10.1978 по текущий момент времени по годам	25
Рисунок 7б – Ежедневные оценки сезонного хода ледовитости Южного Океана и его трёх меридиональных секторов за период с 26.10.1978 по текущий момент времени.	26
Рисунок 8 – Медианные распределения общей сплоченности льда за текущие 7 дневные промежутки (слева) и её разности относительно медианного распределения за тот же промежуток за периоды 1979-2020 (центр) и 2009-2020 гг. (справа) на основе расчетов по данным SSMR-SSM/I-SSMIS, алгоритм NASATEAM	
Таблица 5 – Динамика изменения значений ледовитости для акваторий Южного океана за текущий 7-дневный интервал по данным наблюдений SSMR-SSM/I-SSMIS	27
Таблица 6 – Медианные значения ледовитости для Южного океана и 3 меридиональных секторов за текущие 30 и 7-дневные интервалы и её аномалии от 2011-2016 гг. и интервалов 2007-2017 гг. и 1978-2017 гг. по данным наблюдений SSMR-SSM/I-SSMIS, алгоритм NASATEAM	27
Таблица 7 – Экстремальные и средние значения ледовитости для Южного океана и 3 меридиональных секторов за текущий 7-дневный интервал по данным наблюдений SSMR-SSM/I-SSMIS, алгоритм NASATEAM	27

Земля в целом

Рисунок 9 – Ежедневные сглаженные окном 365 суток значения ледовитости Арктики, Антарктики и Земли в целом с 26.10.1978 на основе SSMR-SSM/I-SSMIS	28
Рисунок 10 – Ежедневные сглаженные окном 365 суток значения приведенной ледовитости Арктики, Антарктики и Земли в целом с 26.10.1978 на основе SSMR-SSM/I-SSMIS	29
Рисунок 11 – Ежедневные сглаженные окном 365 суток значения общей сплоченности Арктики и Антарктики с 26.10.1978 на основе SSMR-SSM/I-SSMIS	30
Приложение 1 – Статистические значения ледовитостей по отдельным акваториям Северной Полярной Области и Южного океана	31
Таблица 8 – Средние, аномалии среднего и экстремальные значения ледовитостей для Северной полярной области и её отдельных акваторий за текущие 7-дневный (неделя) и 30-дневный промежутки времени по данным наблюдений SSMR-SSM/I-SSMIS, алгоритм NASATEAM за период 1978-2017 гг.....	31
Таблица 9 – Средние, аномалии среднего и экстремальные значения ледовитостей для Южного океана и его отдельных акваторий за текущие 7-дневный и 30-дневный промежутки времени по данным наблюдений SSMR-SSM/I-SSMIS, алгоритм NASATEAM за период 1978-2017	31
Таблица 10 – Динамика изменения значений ледовитости по сравнению с предыдущей неделей для морей Северной полярной области и Южного океана за текущий 7-дневный (неделя) промежуток времени по данным наблюдений SSMIS	35
Характеристика исходного материала и методика расчетов	31
Список источников	41

Северное Полушарие

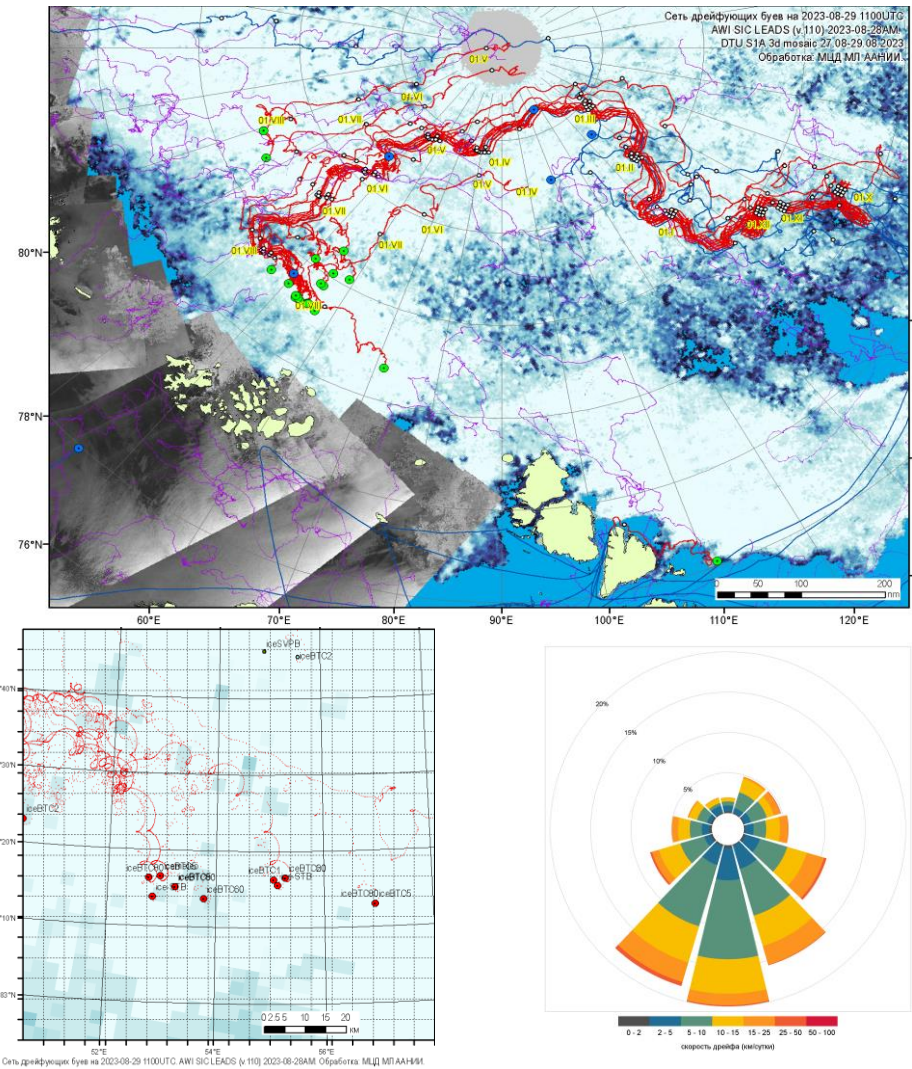
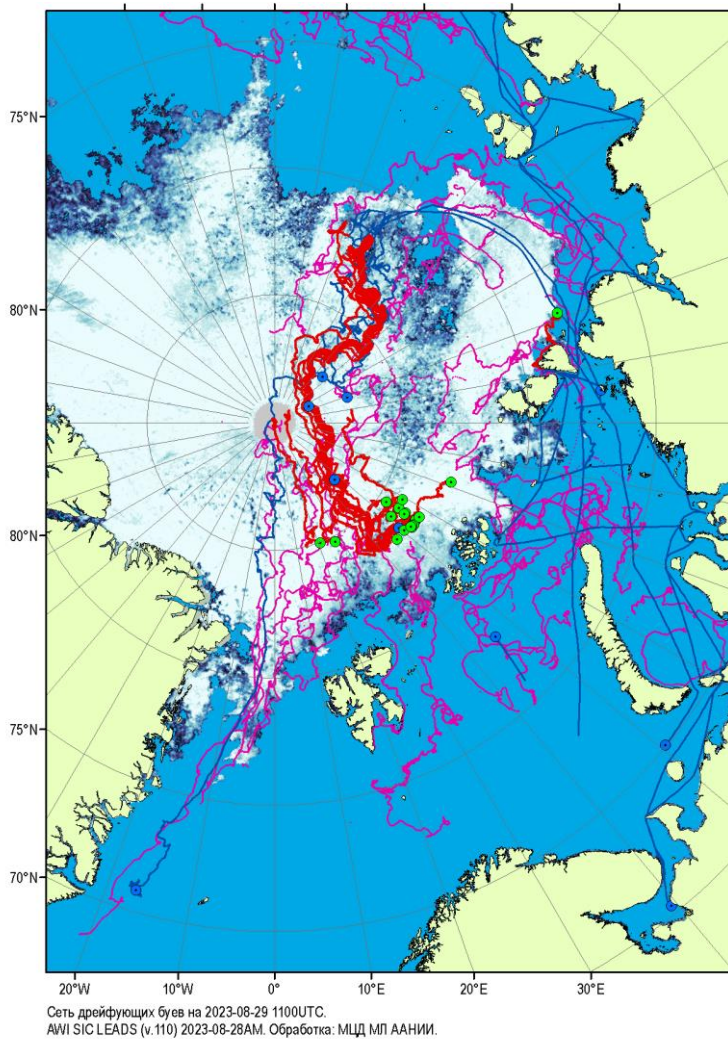


Рисунок 1а – Трек дрейфа ГСН и РСД дрейфующей станции «Северный Полюс-41» на 29.08.2023 и, совмещенные с положением разрежений на основе данных ИСЗ AMSR2 за 29.08.2023 (Leads AWI, v110) и S1A. Красным/зеленым цветом выделены активные буи, синим неактивные буи. Диаграмма скоростей и направлений дрейфа в полярной проекции с осевым меридианом 0°

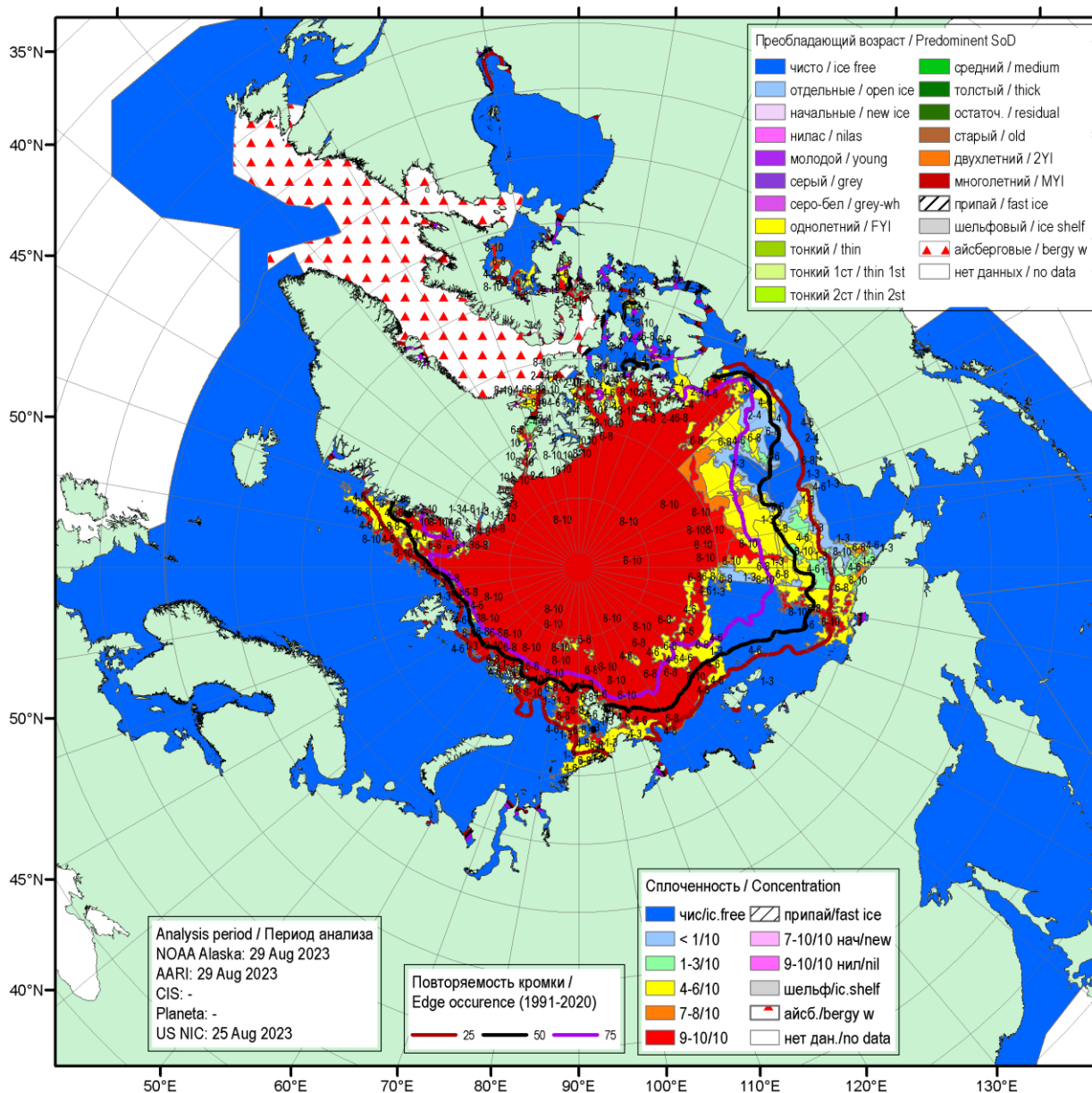


Рисунок 16 – Обзорная ледовая карта СЛО за 25.08-29.08.2023 г. (цветовая раскраска по общей сплоченности) на основе ледового анализа ААНИИ (29.08), NOAA Аляска (29.08), Канадской ледовой службы (-.-), и Национального ледового центра США (25.08) и повторяемость кромки за 26-31.08 за период 1991-2020гг. по наблюдениям SSMR-SSM/I-SSMIS (алгоритм NASATEAM).

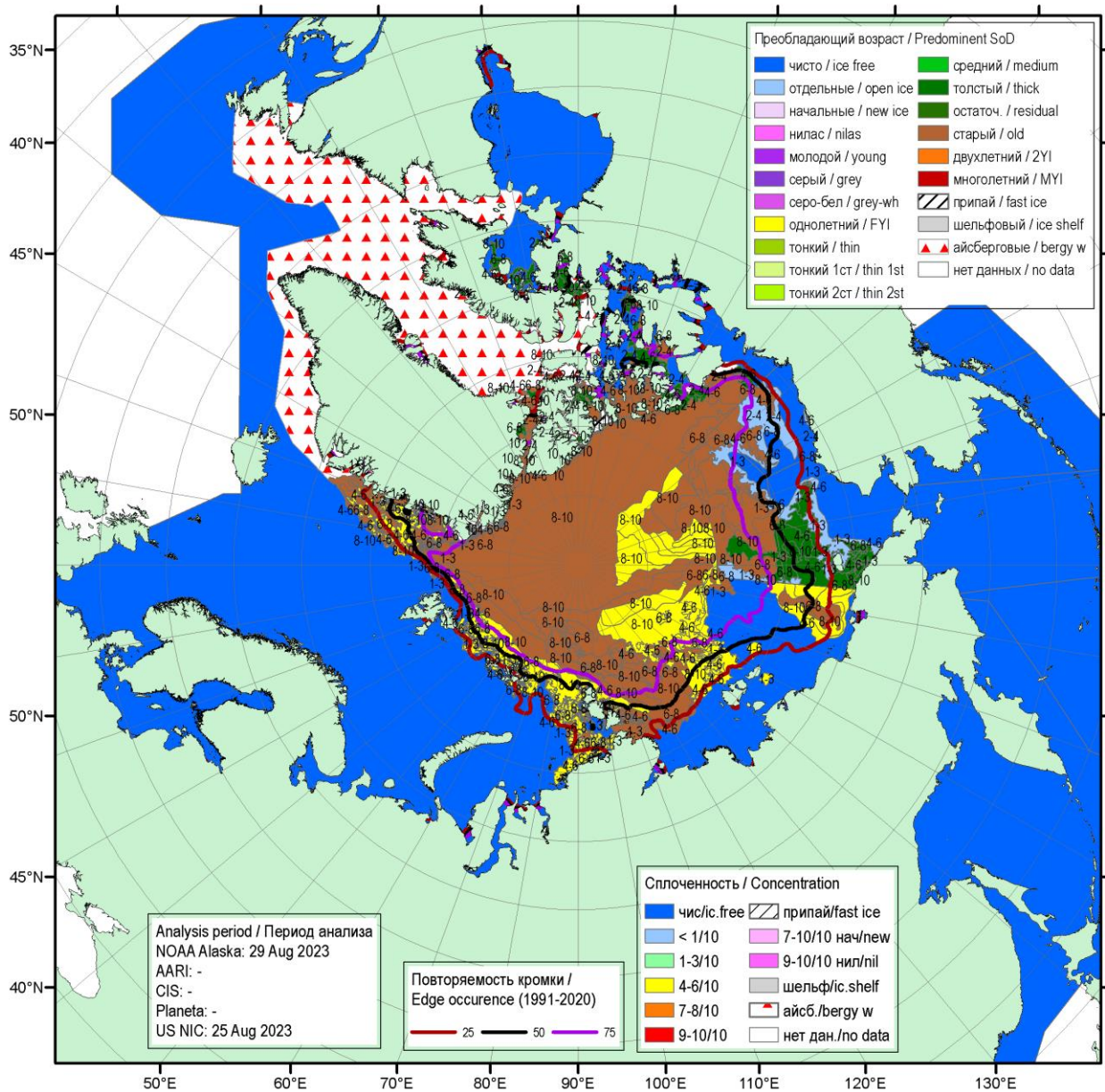


Рисунок 16 – Обзорная ледовая карта СЛО за 25.08-29.08.2023 г. (цветовая раскраска по преобладающему возрасту) на основе ледового анализа ААНИИ (-), NOAA Аляска (29.08), Канадской ледовой службы (-.-), и Национального ледового центра США (25.08) и повторяемость кромки за 26-31.08 за период 1991-2020гг. по наблюдениям SSMR-SSM/I-SSMIS (алгоритм NASATEAM).

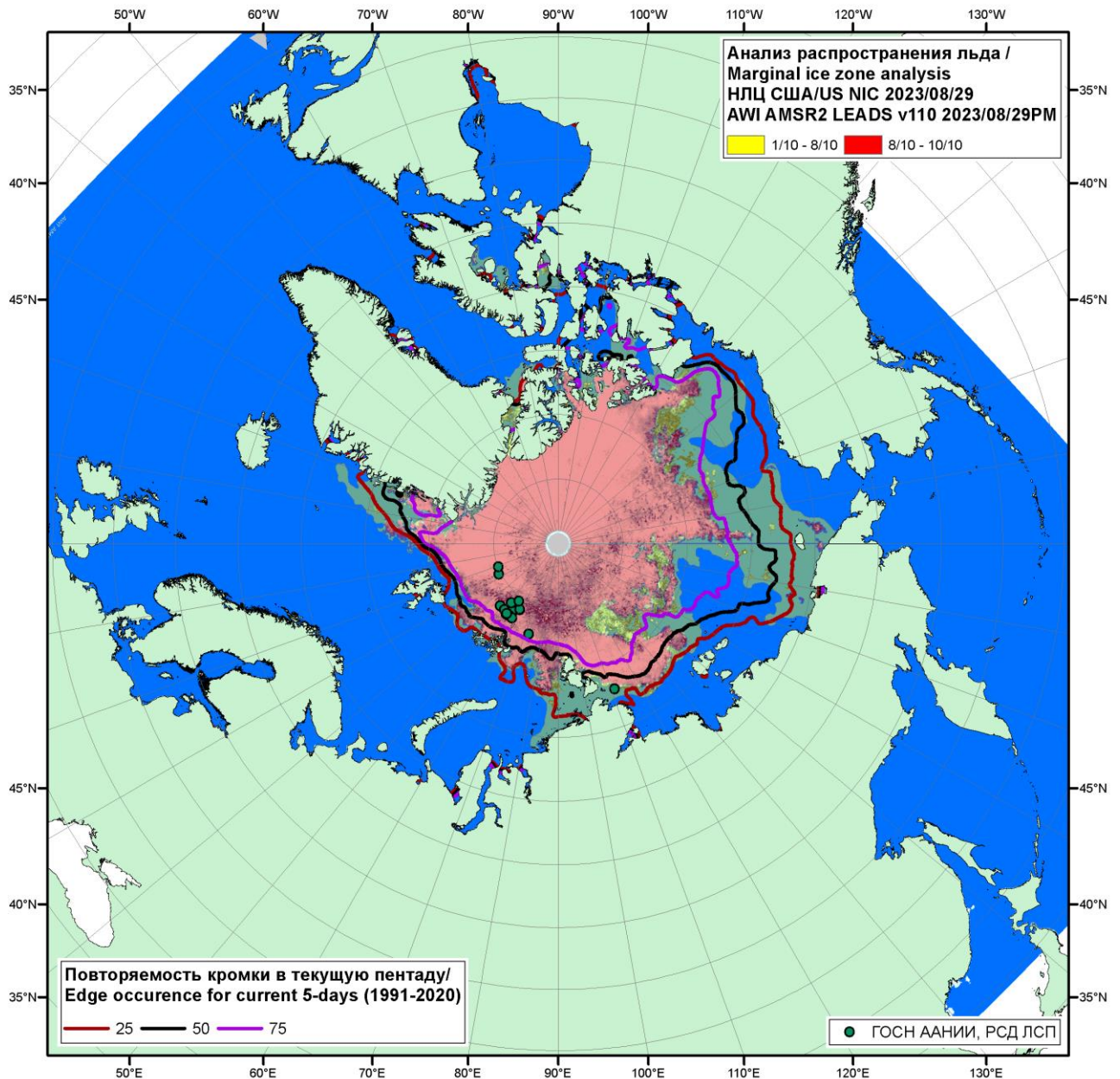


Рисунок 1г – Положение кромки льда и зон разреженных (<8/10) и сплоченных (≥8/10) льдов СЛО за 29.08.2023 г. на основе ледового анализа Национального Ледового Центра США и повторяемость кромки за 26-31.08 за период 1991-2020 гг. по наблюдениям SSMR-SSM/I-SSMIS (алгоритм NASATEAM), совмещенное с положением разрежений на основе данных ИСЗ AMSR2 29.08.2023 (AWI, v110) и положение РСД ЛСП на 29.08.2023.

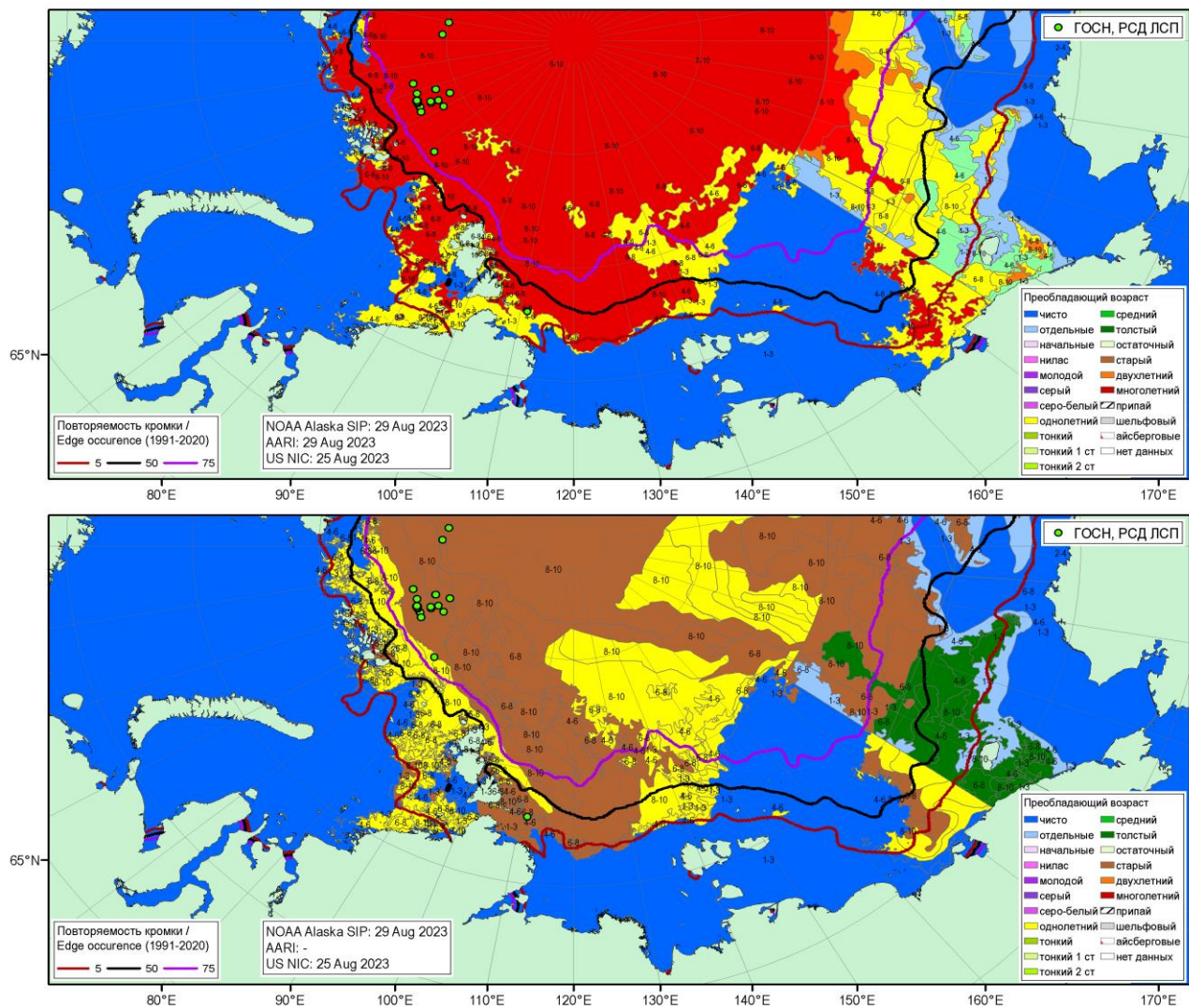


Рисунок 1д – Обзорная ледовая карта СМП за 25.08-29.08.2023 г. (цветовая раскраска по общей сплоченности – верх, по преобладающему возрасту - низ) на основе ледового анализа ААНИИ (29.08), NOAA Аляска (29.08), и Национального ледового центра США (25.08) и повторяемость кромки за 26-31.08 за период 1991-2020гг. по наблюдениям SSMR-SSM/I-SSMIS (алгоритм NASATEAM) и положение РСД ЛСП на 29.08.2023.

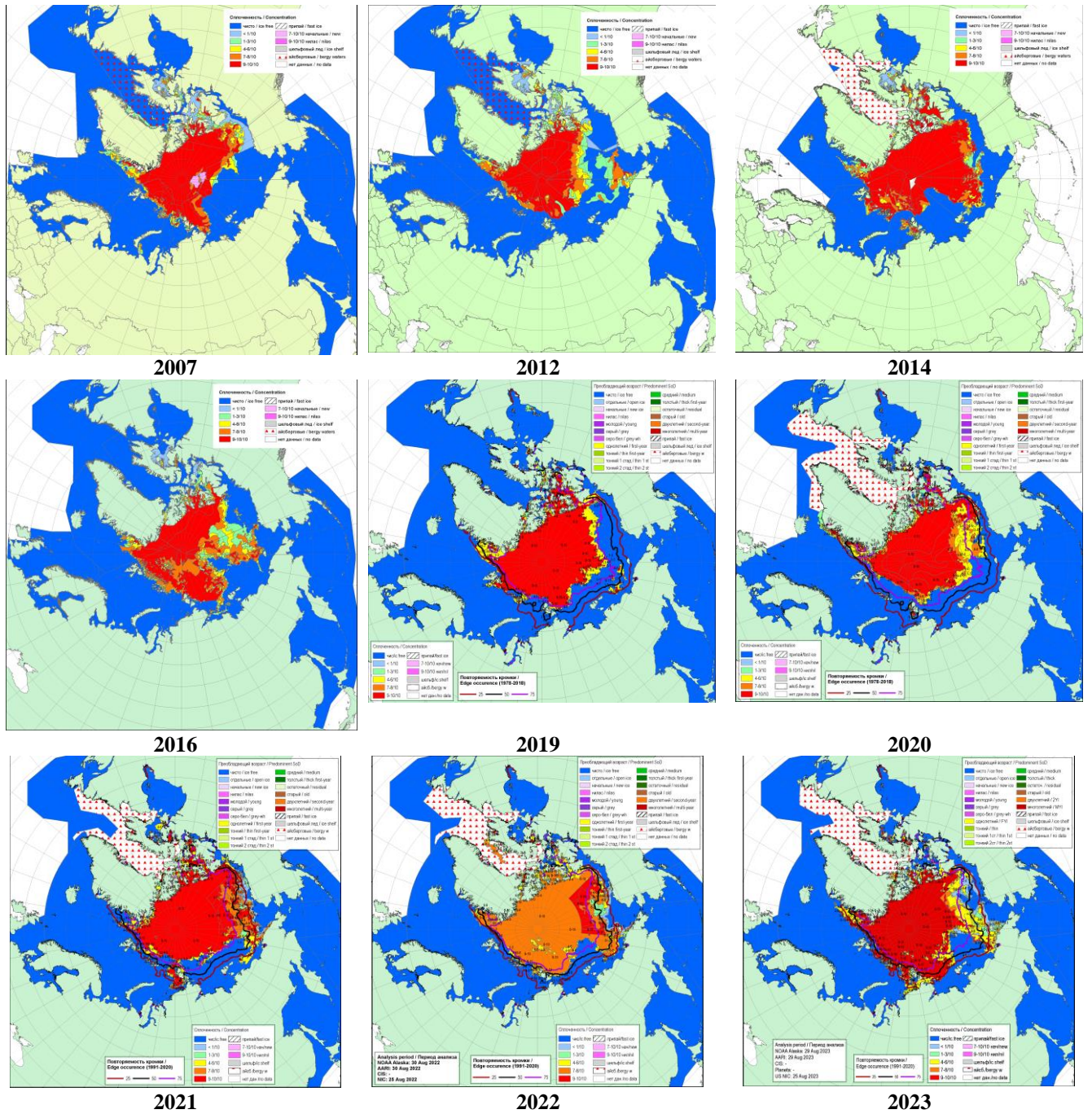


Рисунок 2а – Оценка сплоченности морского льда за 25.08-29.08.2023г. и аналогичные периоды 2007-2022гг. на основе ледового анализа ААНИИ, НИЦ Планета, Канадской ледовой службы и Национального ледового центра США.

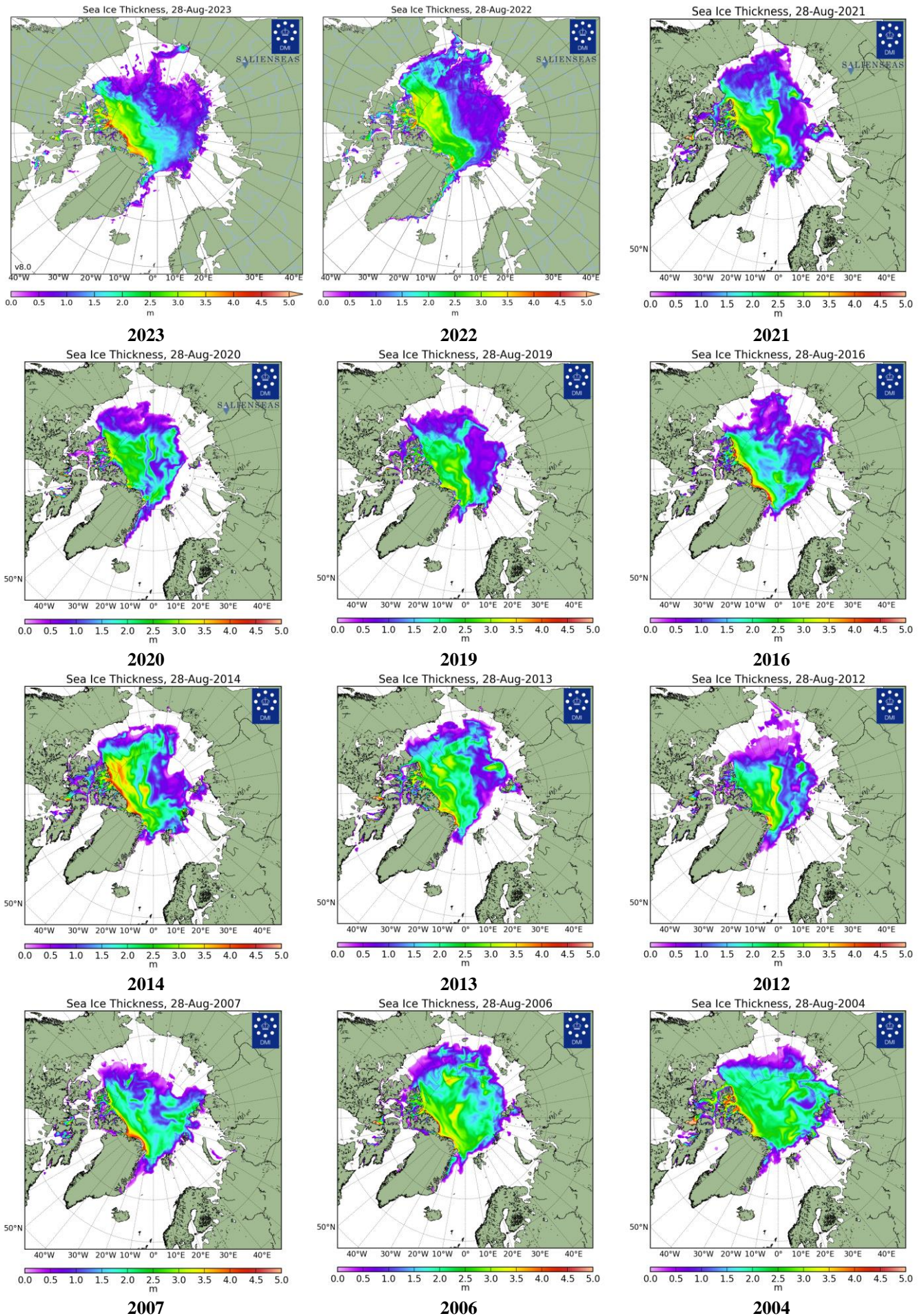


Рисунок 26 – Поля распределения средневзвешенной толщины льда совместной модели морского льда – океана NYSOM/CICE Датского метеорологического института 28.08 за 2004-2023 гг.

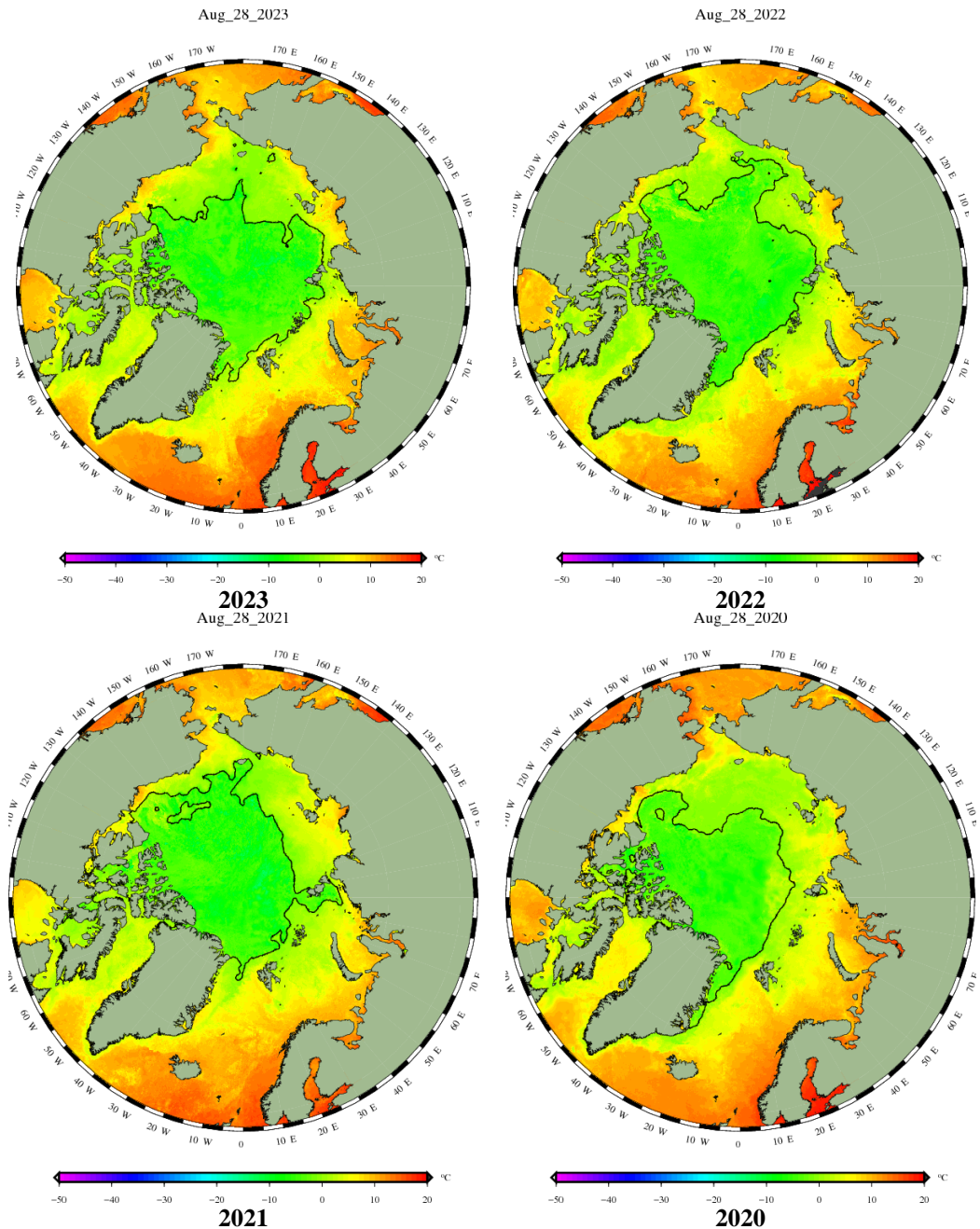


Рисунок 2в – Поля распределения средней за 36-часовые промежутки температуры поверхности морского льда и океана Датского метеорологического института на основе статистической обработки ИК-каналов AVHRR ИСЗ MetOp-A за 26.08-28.08 2020-2023 гг. (<http://polarportal.dk/en/sea-ice-and-icebergs/sea-ice-temperature/#c8099>)

Ice drift speed for 20230821T1200-20230828T1200

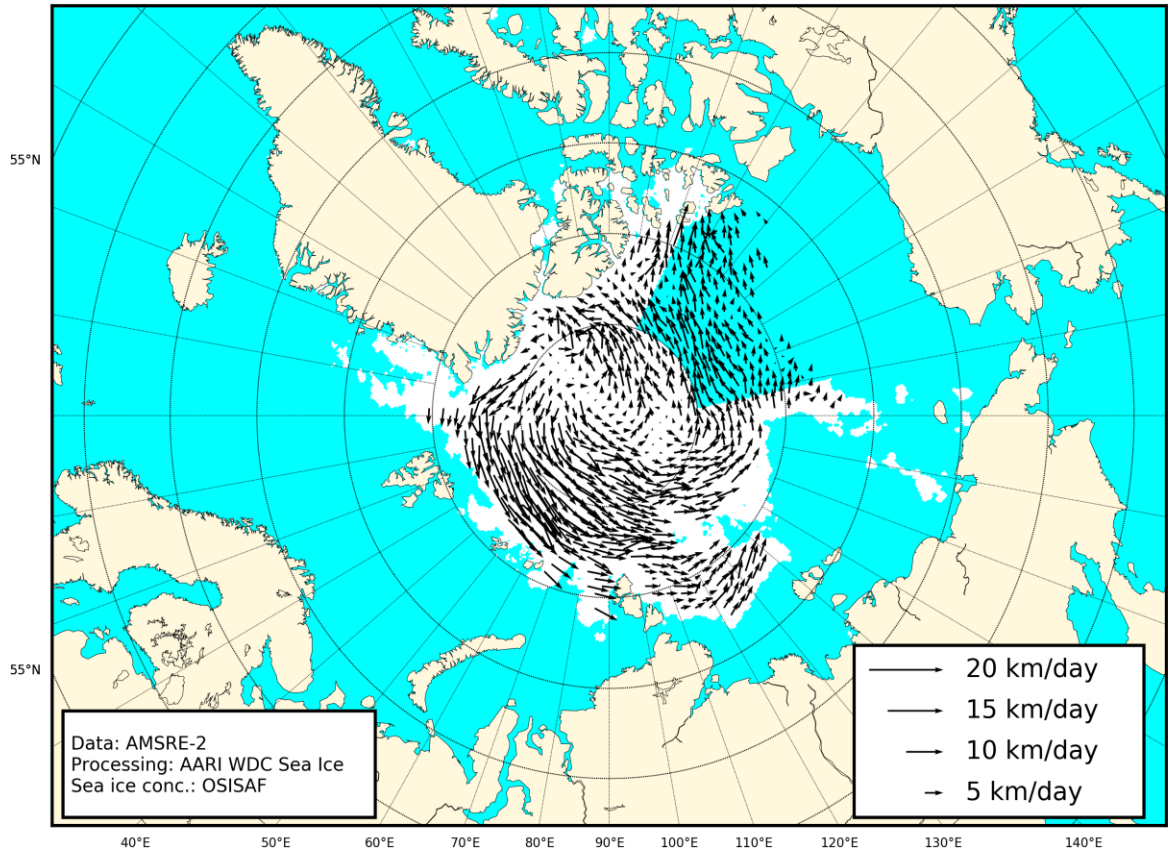


Рисунок 2г – Поле дрейфа морского льда Арктики за последнюю неделю, источник OSI SAF EUMETSAT.

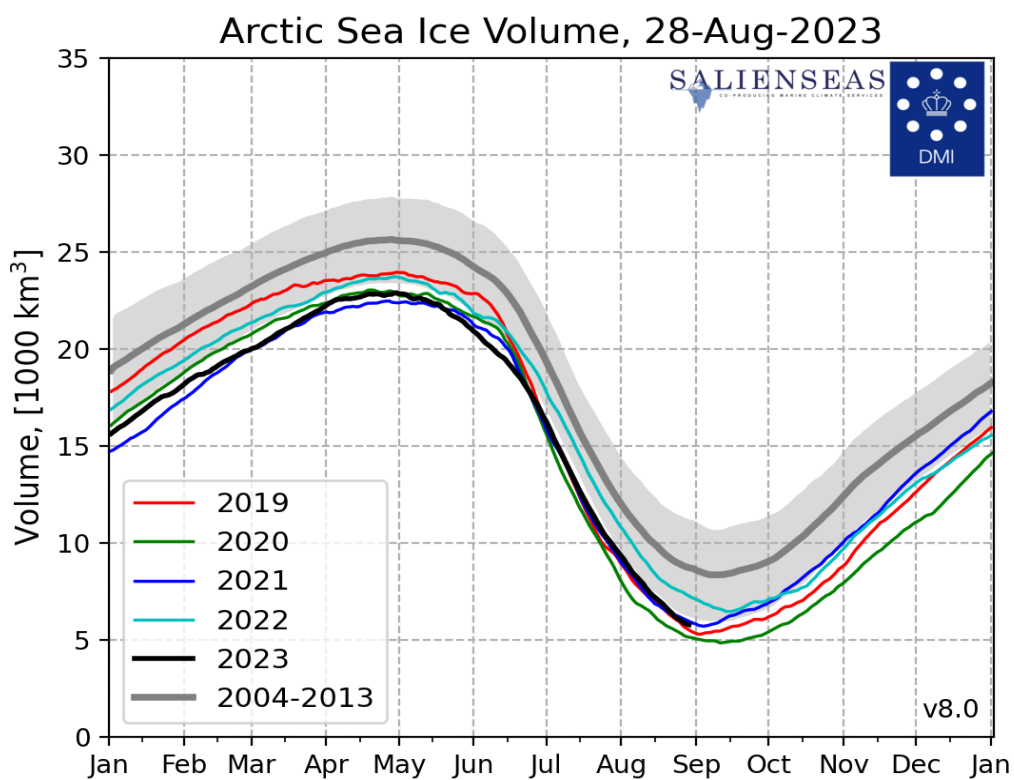
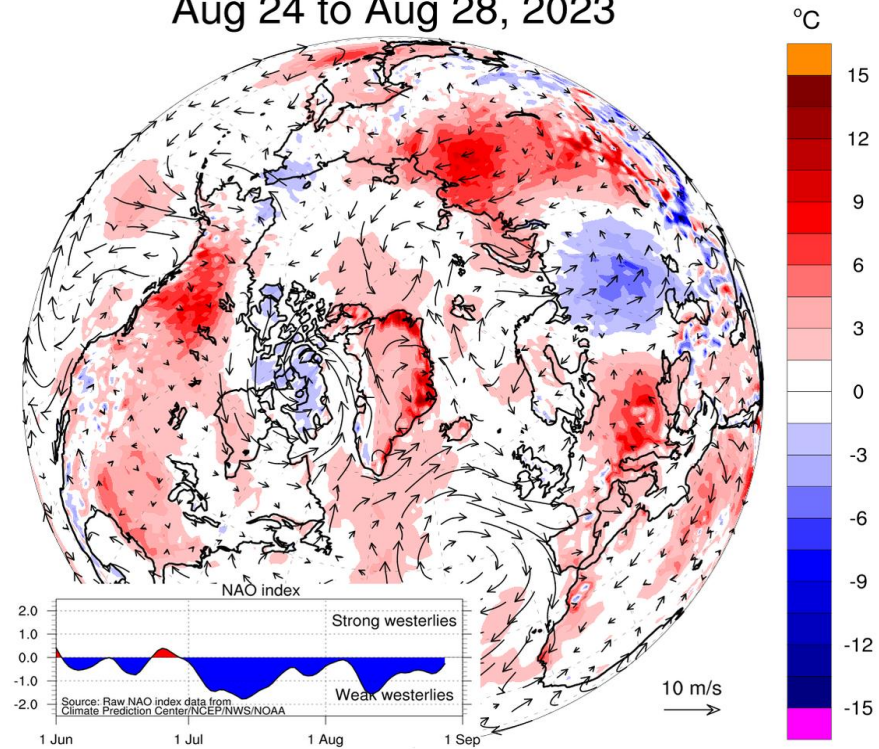


Рисунок 2д – Ежедневные оценки сезонного хода объема морского льда СЛО на основе расчетов средневзвешенной толщины льда совместной модели морского льда – океана HYCOM/CICE Датского метеорологического института с 28.02.2004 по 28.08.2023 гг.

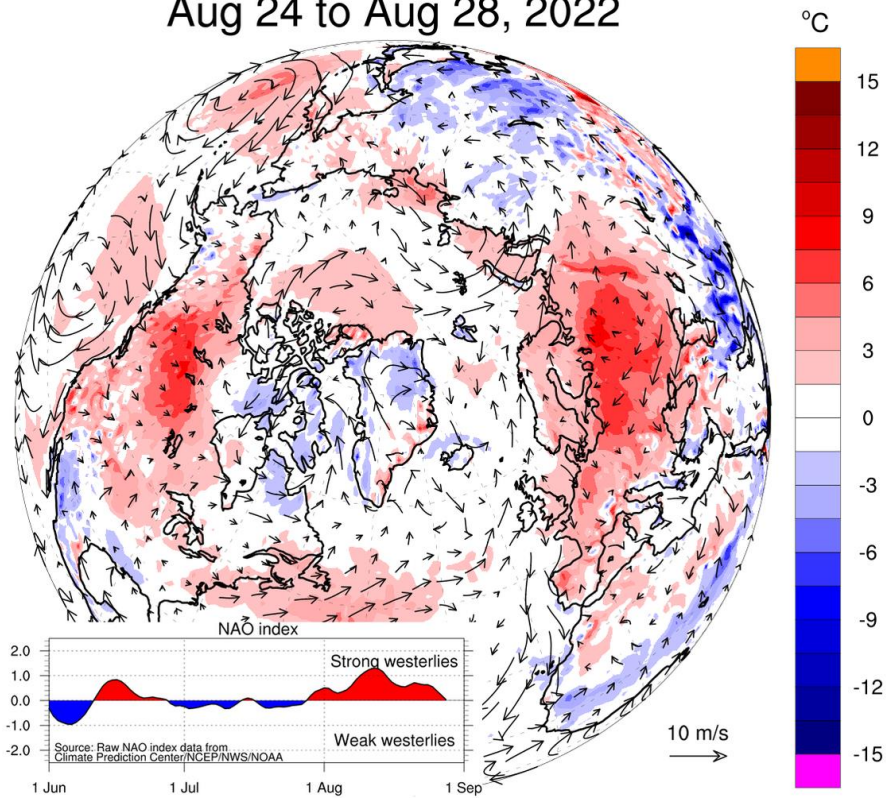
Aug 24 to Aug 28, 2023



ECMWF forecast: 2-m temperature and 10-m wind
T2m anomaly relative to ERA-Interim 2004-2013

polarportal.dk

Aug 24 to Aug 28, 2022

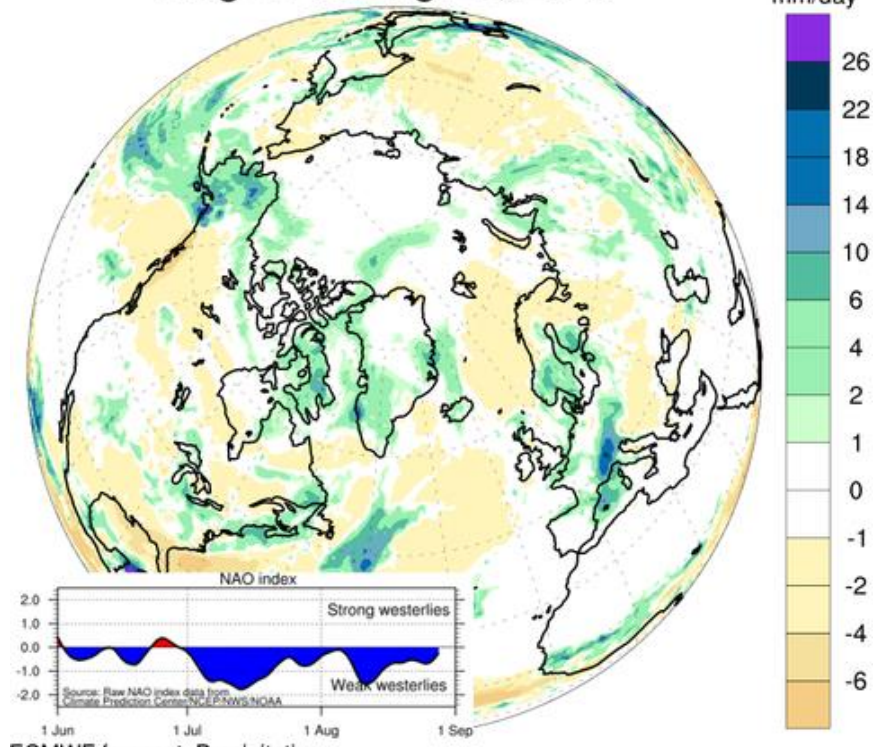


ECMWF forecast: 2-m temperature and 10-m wind
T2m anomaly relative to ERA-Interim 2004-2013

polarportal.dk

Рисунок 2е – Аномалии приземной температуры воздуха (2м) и осредненные вектора скорости ветра (10 м) за 24.08 – 28.08 в 2022-2023 гг. относительно периода 2004-2013 гг. (<http://polarportal.dk>)

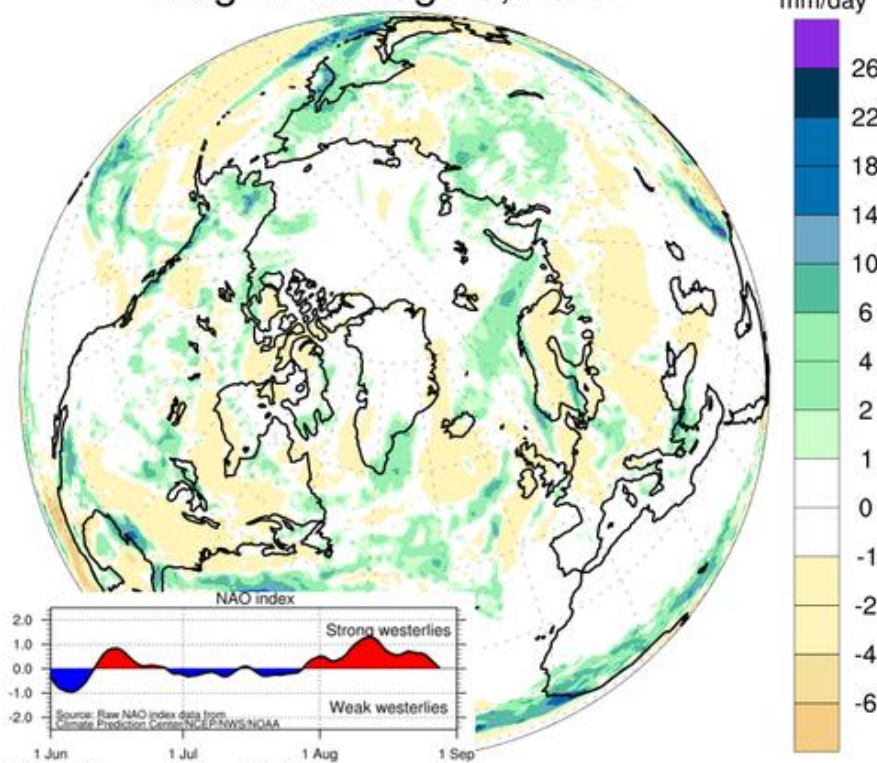
Aug 24 to Aug 28, 2023



ECMWF forecast: Precipitation
Anomaly relative to ERA-Interim 2004-2013

polarportal.dk

Aug 24 to Aug 28, 2022



ECMWF forecast: Precipitation
Anomaly relative to ERA-Interim 2004-2013

polarportal.dk

Рисунок 2ж – Аномалии приземной суммы осадков 24.08 - 28.08 в 2022-2023 гг. относительно периода 2004-2013 гг. (<http://polarportal.dk>)

Таблица 1 – Динамика изменения значений ледовитости по сравнению с предыдущей неделей для морей Северной полярной области 21.08 – 27.08.2023 г. по данным наблюдений SSMR-SSM/I-SMIS

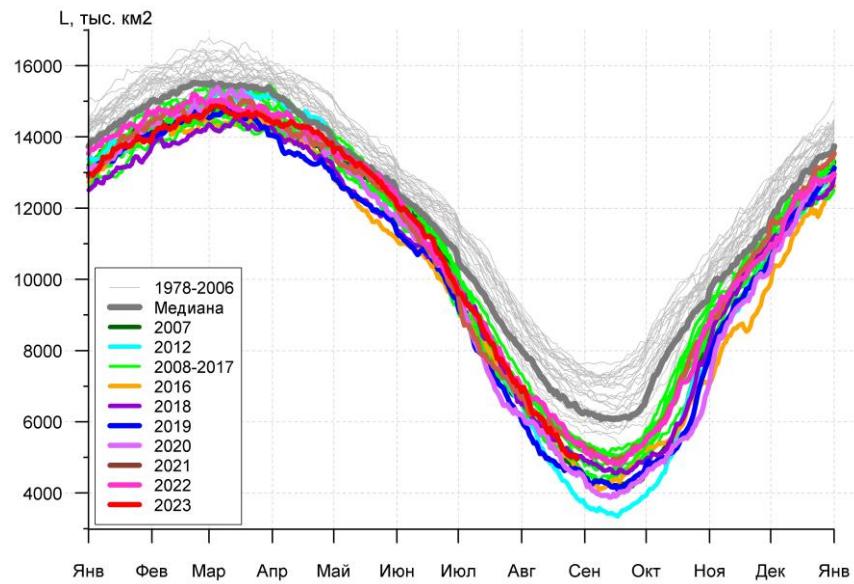
Регион	Северная полярная область	Сектор 45°W-95°E (Гренландское - Карское моря)	Сектор 95°E-170°W (моря Лаптевых - Чукотское, Берингово, Охотское)	Сектор 170°W-45°W (море Бофорта и Канадская Арктика)	Северный Ледовитый океан	Моря СМП (моря Карское-Чукотское)
Разность	-523.8	-72.5	-180.7	-270.7	-524.3	-163.6
тыс.кв.км/сут.	-74.8	-10.4	-25.8	-38.7	-74.9	-23.4

Таблица 2 - Медианные значения ледовитости для Северной полярной области, 3-х меридиональных секторов и моря СМП за текущие 30 и 7-дневные интервалы, и её аномалии от 2016-2020 гг. и интервалов 2011-2021 гг. и 1978-2021 гг. по данным наблюдений SSMR-SSM/I-SSMIS, алгоритмы NASATEAM

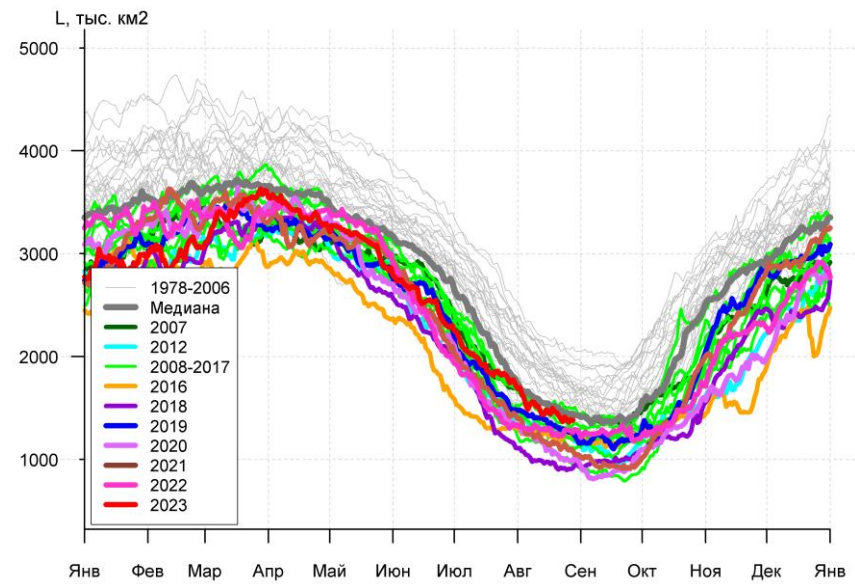
Северная полярная область								
Месяц	S, тыс. км2	Аномалии, тыс км2/%						
		2018 г	2019 г	2020 г	2021 г	2022 г	2013-2023гг	1978-2023гг
28.07-27.08	5999.5	154.7	737.6	484.3	-88.8	-369.0	73.4	-1041.7
		2.6	14.0	8.8	-1.5	-5.8	1.2	-14.8
21-27.08	5096.4	-71.9	416.9	427.4	-466.0	-532.0	-112.6	-1259.5
		-1.4	8.9	9.2	-8.4	-9.5	-2.2	-19.8
Сектор 45°W-95°E (Гренландское - Карское моря)								
Месяц	S, тыс. км2	Аномалии, тыс км2/%						
		2018 г	2019 г	2020 г	2021 г	2022 г	2013-2023гг	1978-2023гг
28.07-27.08	1524.0	519.7	135.5	354.1	292.2	231.9	228.8	-117.0
		51.7	9.8	30.3	23.7	17.9	17.7	-7.1
21-27.08	1392.0	482.8	107.4	386.6	277.0	131.1	200.4	-97.7
		53.1	8.4	38.5	24.8	10.4	16.8	-6.6
Сектор 95°E-170°W (моря Лаптевых - Чукотское, Берингово, Охотское)								
Месяц	S, тыс. км2	Аномалии, тыс км2/%						
		2018 г	2019 г	2020 г	2021 г	2022 г	2013-2023гг	1978-2023гг
28.07-27.08	1865.3	-101.1	383.1	485.1	219.8	-231.1	29.7	-446.7
		-5.1	25.8	35.1	13.4	-11.0	1.6	-19.3
21-27.08	1506.8	-160.9	337.7	367.8	116.0	-305.3	-39.6	-561.6
		-9.6	28.9	32.3	8.3	-16.8	-2.6	-27.1
Сектор 170°W-45°W (море Бофорта и Канадская Арктика)								
Месяц	S, тыс. км2	Аномалии, тыс км2/%						
		2018 г	2019 г	2020 г	2021 г	2022 г	2013-2023гг	1978-2023гг
28.07-27.08	2610.2	-263.9	219.1	-354.9	-600.8	-369.8	-185.1	-478.1
		-9.2	9.2	-12.0	-18.7	-12.4	-6.6	-15.5
21-27.08	2197.6	-393.9	-28.2	-327.0	-858.9	-357.9	-273.3	-600.1
		-15.2	-1.3	-13.0	-28.1	-14.0	-11.1	-21.5
Северный Ледовитый океан								
Месяц	S, тыс. км2	Аномалии, тыс км2/%						
		2018 г	2019 г	2020 г	2021 г	2022 г	2013-2023гг	1978-2023гг
28.07-27.08	5711.1	-9.1	557.7	473.1	-103.8	-348.6	-32.6	-1193.4
		-0.2	10.8	9.0	-1.8	-5.8	-0.6	-17.3
21-27.08	4814.4	-250.7	246.5	391.8	-481.8	-547.0	-232.9	-1438.6
		-5.0	5.4	8.9	-9.1	-10.2	-4.6	-23.0
Моря СМП (моря Карское-Чукотское)								
Месяц	S, тыс. км2	Аномалии, тыс км2/%						
		2018 г	2019 г	2020 г	2021 г	2022 г	2013-2023гг	1978-2023гг
28.07-27.08	756.5	94.4	463.3	583.8	180.1	-51.6	129.9	-480.9
		14.3	158.0	337.9	31.3	-6.4	20.7	-38.9
21-27.08	457.4	37.7	355.0	425.7	92.2	-91.9	68.2	-495.6
		9.0	346.7	1342.2	25.2	-16.7	17.5	-52.0

Таблица 3 – Экстремальные и средние значения ледовитости для Северной полярной области, 3 меридиональных секторов и моря СМП за текущий 7-дневный интервал по данным наблюдений SSMR-SSM/I-SSMIS, алгоритмы NASATEAM.

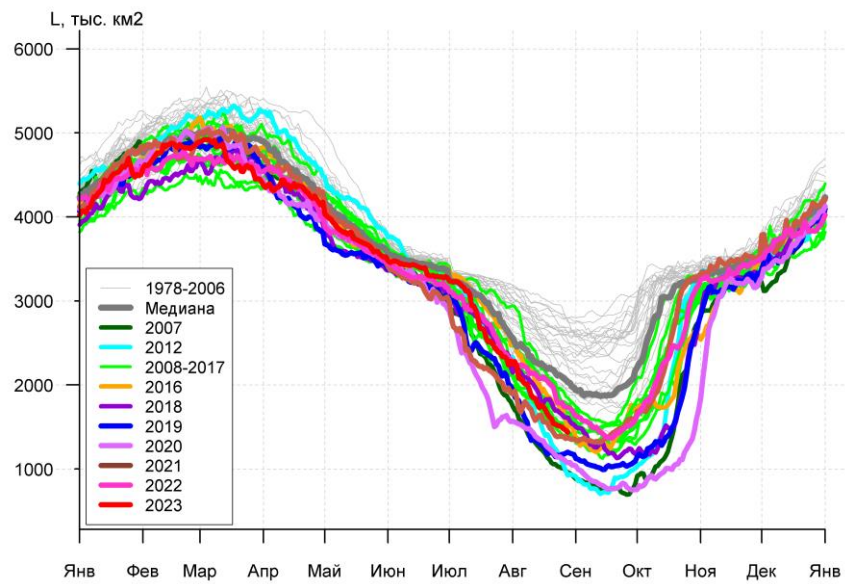
Северная полярная область				
Месяц	Минимальное знач.	Максимальное знач.	Среднее знач.	Медиана
21-27.08	3963.4 27.08.2012	8032.5 21.08.1996	6355.9	6472.1
Сектор 45°W-95°E (Гренландское - Карское моря)				
Месяц	Минимальное знач.	Максимальное знач.	Среднее знач.	Медиана
21-27.08	896.8 25.08.2018	2132.8 23.08.1981	1489.8	1433.4
Сектор 95°E-170°W (моря Лаптевых - Чукотское, Берингово, Охотское)				
Месяц	Минимальное знач.	Максимальное знач.	Среднее знач.	Медиана
21-27.08	972.7 27.08.2012	2961.6 21.08.1996	2068.4	2038.7
Сектор 170°W-45°W (море Бофорта и Канадская Арктика)				
Месяц	Минимальное знач.	Максимальное знач.	Среднее знач.	Медиана
21-27.08	1717.6 26.08.2012	3610.0 21.08.1983	2797.7	2901.7
Северный Ледовитый океан				
Месяц	Минимальное знач.	Максимальное знач.	Среднее знач.	Медиана
21-27.08	3900.2 27.08.2012	7936.4 21.08.1996	6253.0	6385.9
Моря СМП (моря Карское-Чукотское)				
Месяц	Минимальное знач.	Максимальное знач.	Среднее знач.	Медиана
21-27.08	28.4 24.08.2020	1974.7 21.08.1996	953.0	912.4



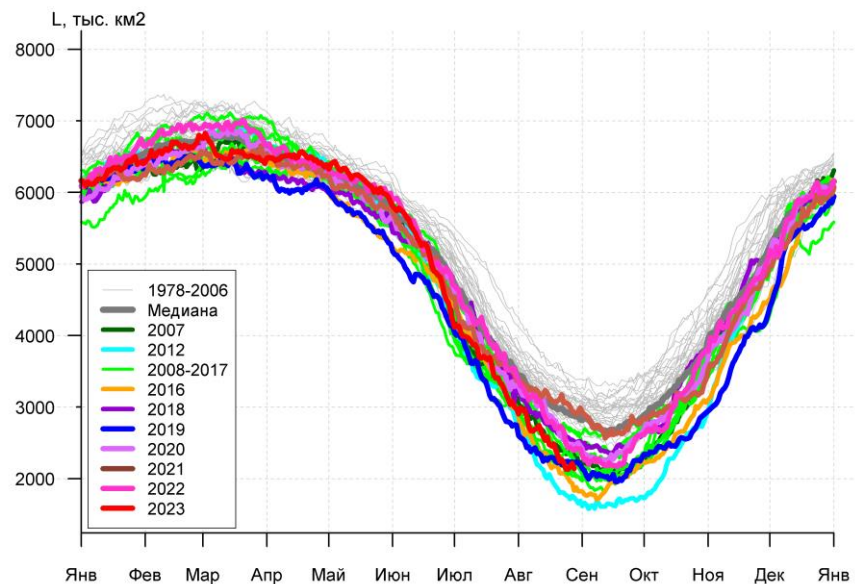
а)



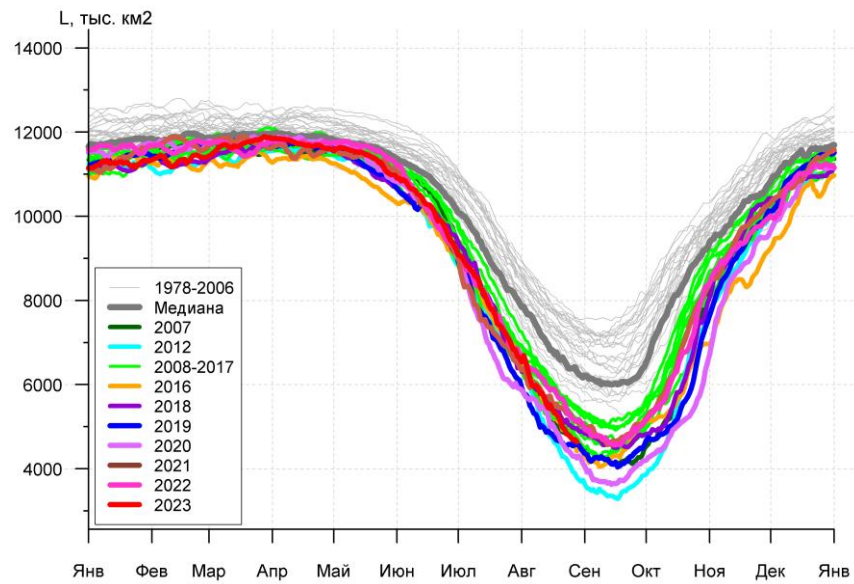
б)



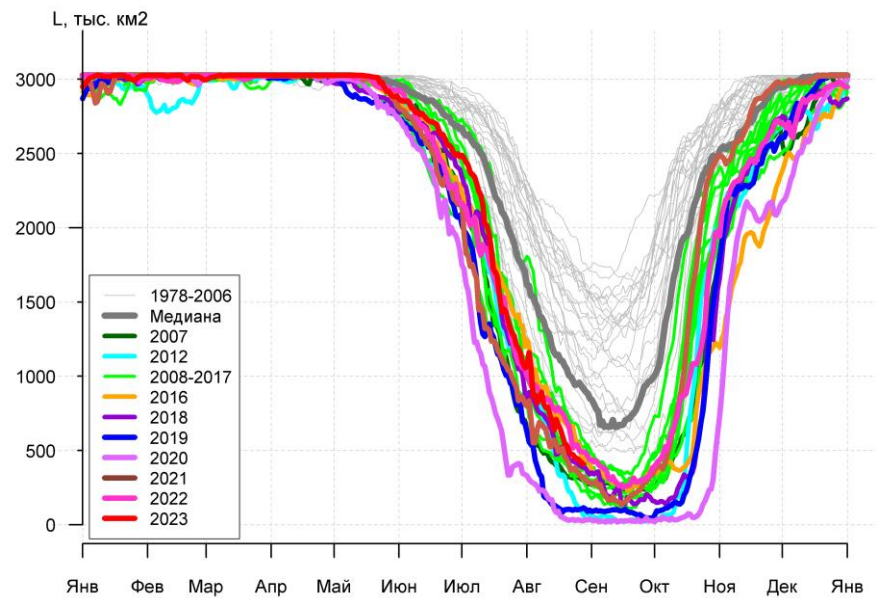
в)



г)



д)



е)

Рисунок 3а – Ежедневные оценки сезонного хода ледовитости для Северной Полярной Области и трех меридиональных секторов за период 26.10.1978 - 28.08.2023 по годам на основе расчетов по данным SSMR-SSM/I-SSMIS, алгоритмы NASATEAM: а) Северная полярная область, б) сектор 45°W-95°E (Гренландское – Карское моря), в) сектор 95°E-170°W (моря Лаптевых – Чукотское и Берингово, Охотское), г) сектор 170°W-45°W (море Бофорта и Канадская Арктика), д) Северный Ледовитый океан, е) Северный морской путь (Карское - Чукотское моря).

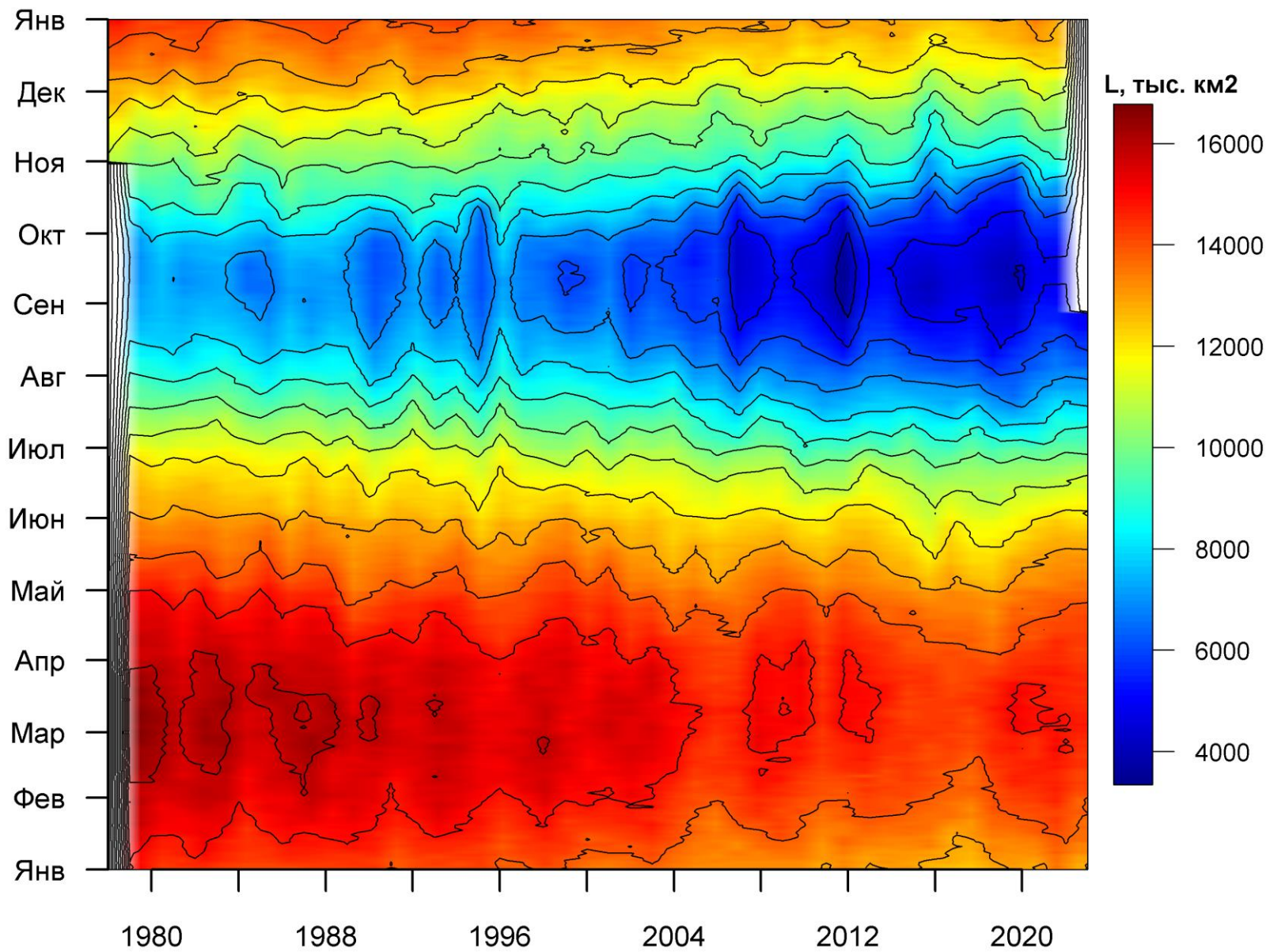


Рисунок 36 – Ежедневные оценки сезонных изменений ледовитости для Северной Полярной Области за период 26.10.1978 – 28.08.2023 на основе расчетов по данным SSMR-SSM/I-SSMIS, алгоритм NASATEAM.

Южный океан

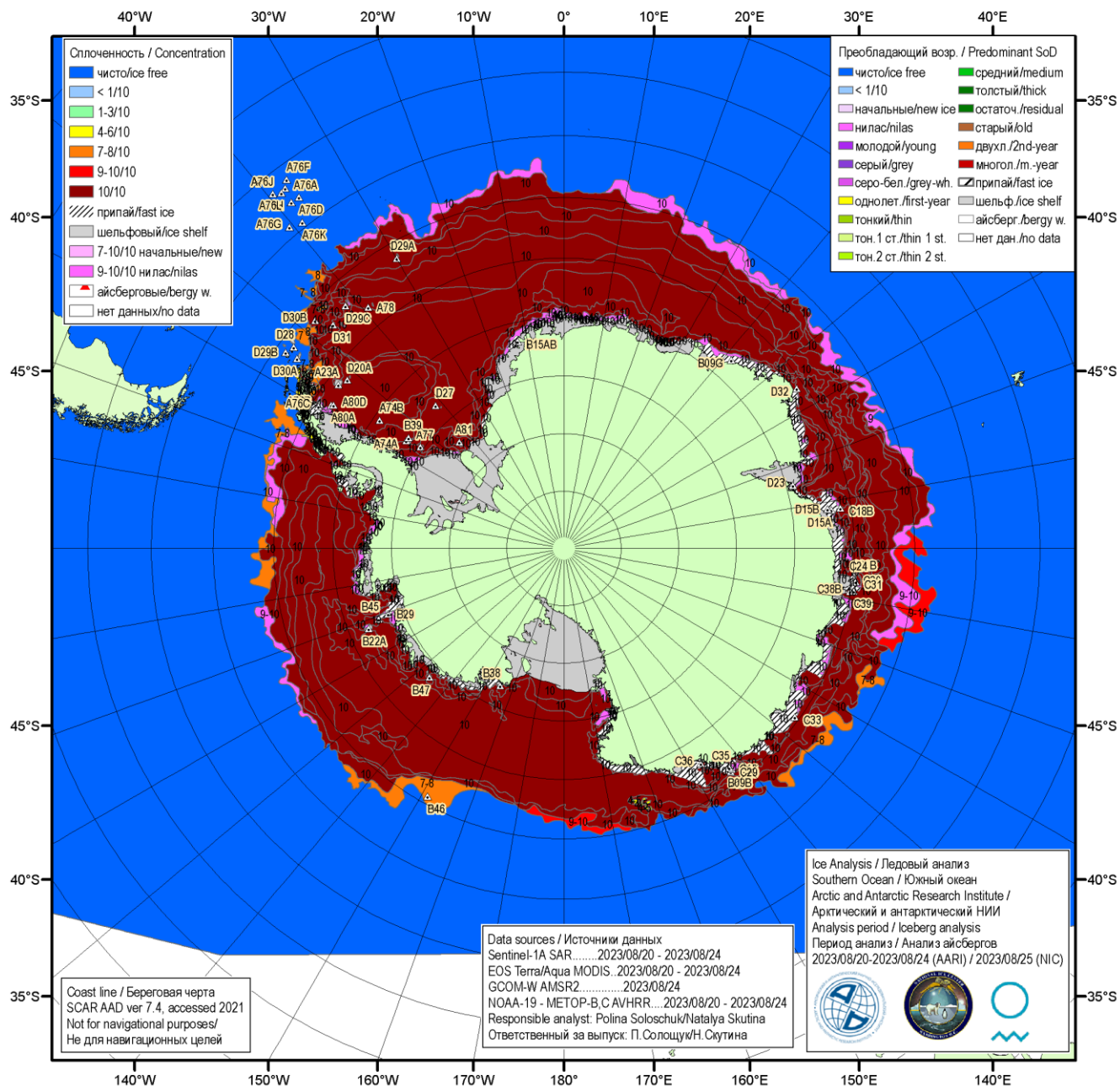


Рисунок 5а – Ледовая карта Южного океана (цветовая окраска по общей сплоченности) и расположение крупных айсбергов на основе ледового анализа за 24.08.2023 в рамках проекта совместного ледового картирования Южного океана ААНИИ, НЛЦ США и НМИ.

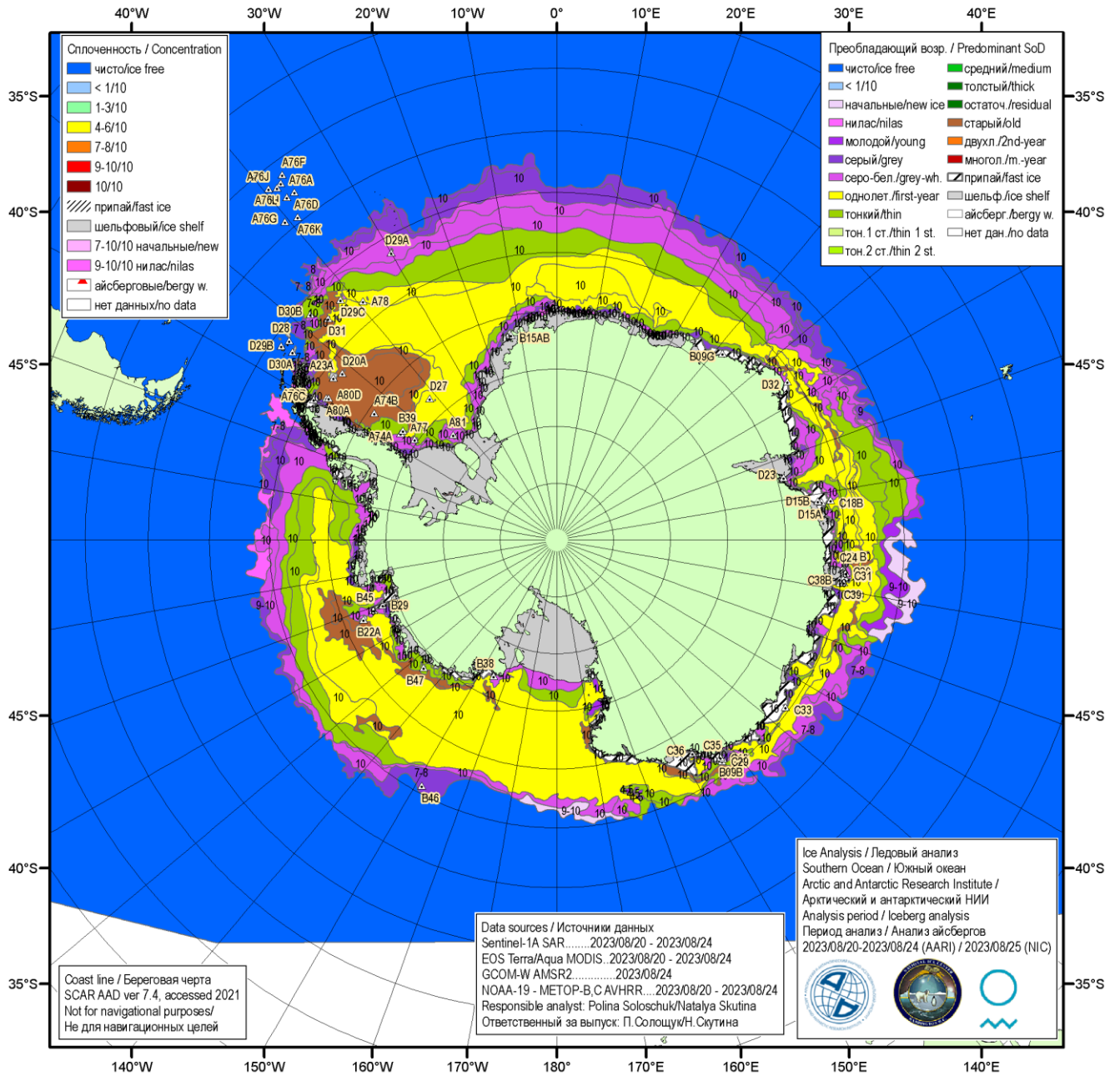


Рисунок 5в – Ледовая карта Южного океана (цветовая окраска по возрасту) и расположение крупных айсбергов на основе ледового анализа за 24.08.2023 в рамках проекта совместного ледового картирования Южного океана ААНИИ, НЛЦ США и НМИ.

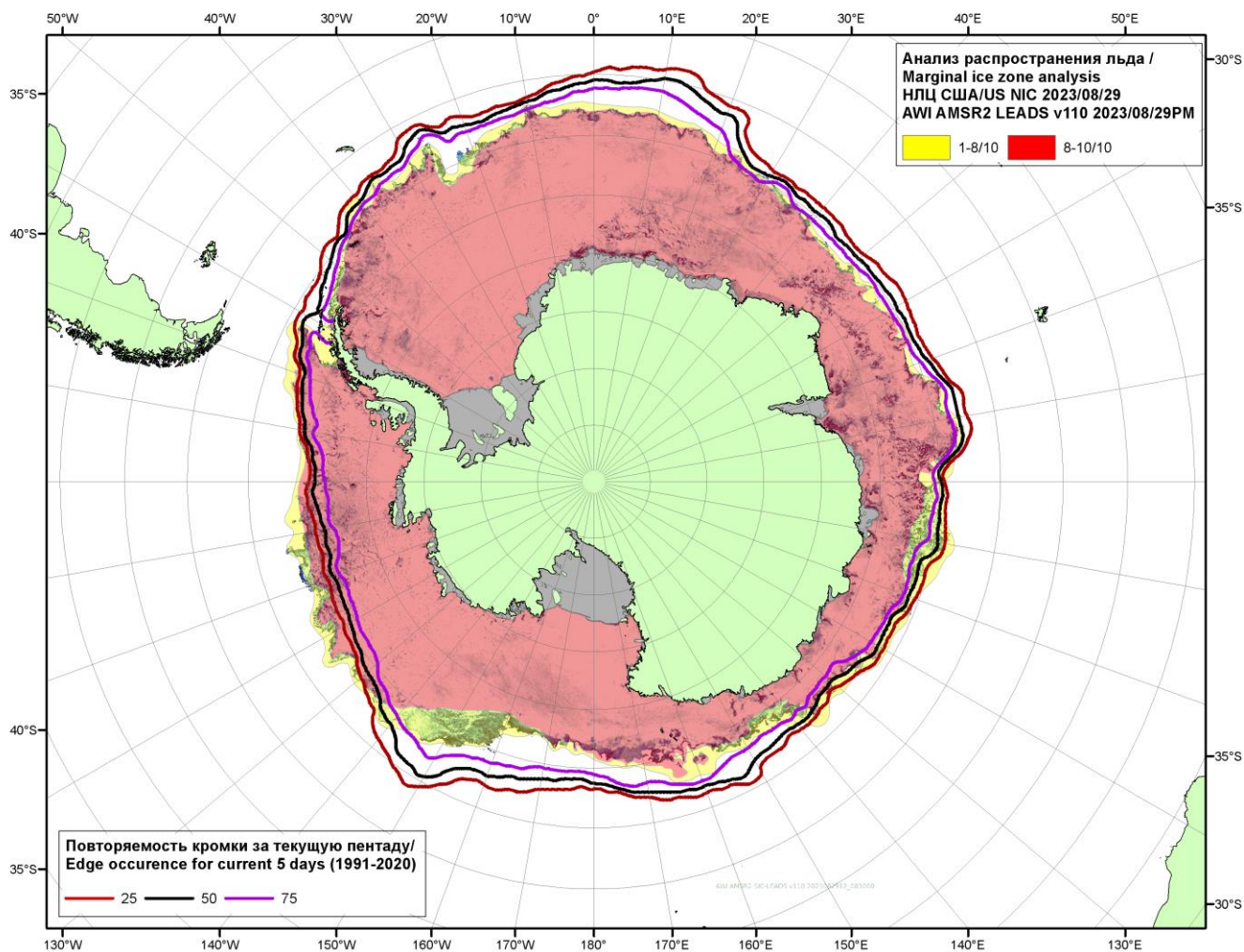
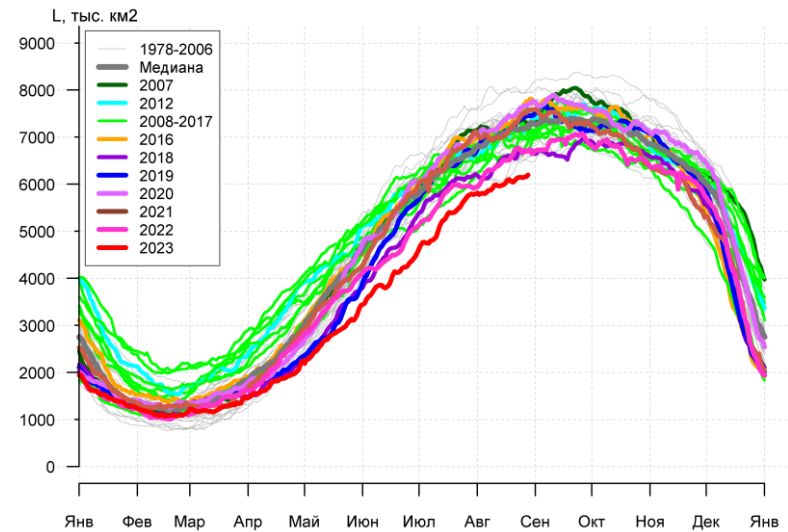
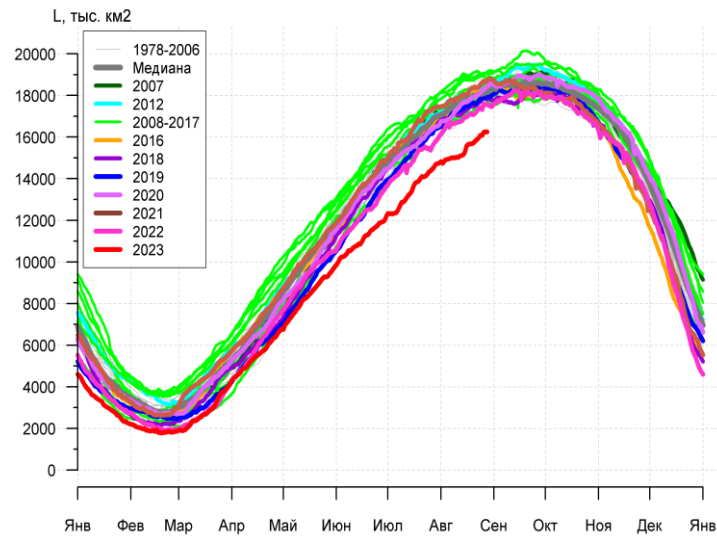


Рисунок 5в – Положение кромки льда и зон разреженных ($<8/10$) и сплоченных ($\geq 8/10$) льдов Южного океана за 29.08.2023 г. на основе ледового анализа Национального Ледового Центра США и повторяемость кромки за 26-31.08 за период 1991-2020 гг. по наблюдениям SSMR-SSM/I-SSMIS (алгоритм NASATEAM), совмещенное с положением разрежений на основе данных ИСЗ AMSR2 за 29.08.2023 (AWI, v110).

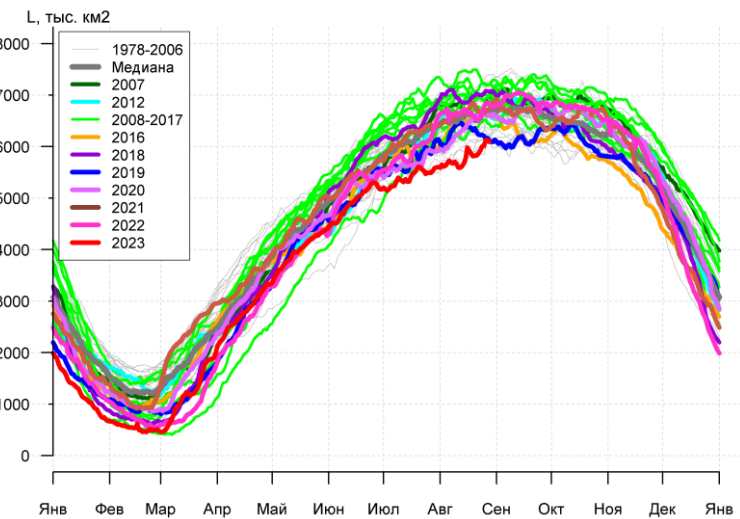
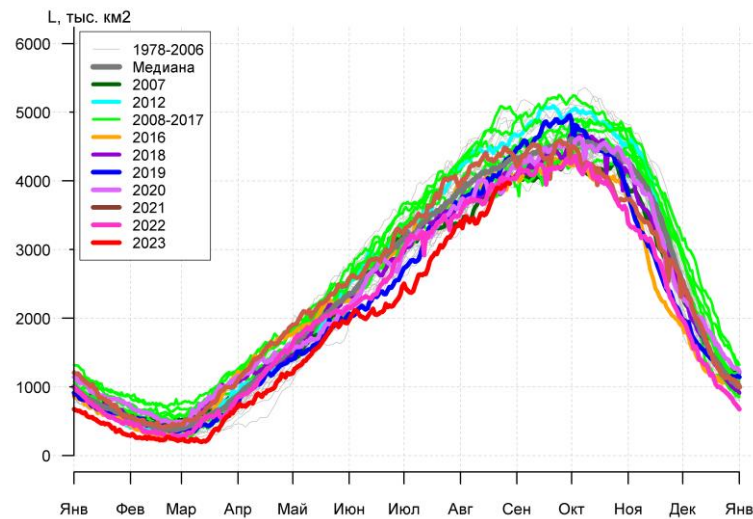
Таблица 4 – Линейные размеры крупных айсбергов Южного океана на основе анализа ААНИИ за 25.02.2021 / Table 4 – Southern Ocean tabular icebergs linear dimensions based on AARI analysis for 2021-02-25

Имя/ Name	Длина/ Length км/km	Ширина/ Width км/km	Площадь/ Area кв.км/sq.km	Имя/ Name	Длина/ Length км/km	Ширина/ Width км/km	Площадь/ Area кв.км/sq.km
A23A	74	63	3996	C36	41	28	147
D15A	94	44	3587	D27	15	9	147
B22A	70	44	3192	A63	20	6	144
D28	54	35	1743	A68K	19	4	142
D15B	61	22	1185	B45	13	11	141
A68A	67	24	894	B42	22	7	138
B09B	44	15	603	A68I	35	6	122
D20A	35	17	455	B46	19	7	111
A64	24	17	346	B15AB	20	7	109
C15	22	15	341	B29	20	9	108
A68E	48	13	334	B39	15	7	105
C21B	20	15	317	A68P	48	11	99
A68M	54	19	287	A68N	48	11	97
A69A	19	17	264	C30	17	6	93
C18B	35	7	243	C33	15	7	88
B50	28	11	232	B38	11	7	87
B09I	22	11	211	C24	20	4	85
B09G	20	13	200	C31	17	6	84
B28	17	11	196	C29	9	9	83
B47	22	9	182	B37	15	6	82
A73	17	9	181	A71	15	6	72
A72	20	7	172	B40	11	9	71
A69B	19	13	169	A68G	48	11	64
D23	15	11	164	B49	19	9	60
A70	15	9	159	A68J	24	4	56
D26	35	4	149	A68O	48	11	55
D21B	19	7	147	A68H	20	9	31
C35	13	9	147	A68P	24	4	11



а)

б)



в)

г)

Рисунок 7а – Ежедневные оценки сезонного хода ледовитости Южного Океана и меридиональных секторов за период 26.10.1978 –28.08.2023 по годам на основе расчетов по данным SSMR-SSM/I-SSMIS, алгоритм NASATEAM: а) Южный Океан, б) Атлантический сектор (60°W-30°E, море Уэдделла), в) Индоокеанский сектор (30°E-150°E, моря Космонавтов, Содружества, Моусона), г) Тихоокеанский сектор (150°E-60°W, моря Росса, Беллинсгаузена)

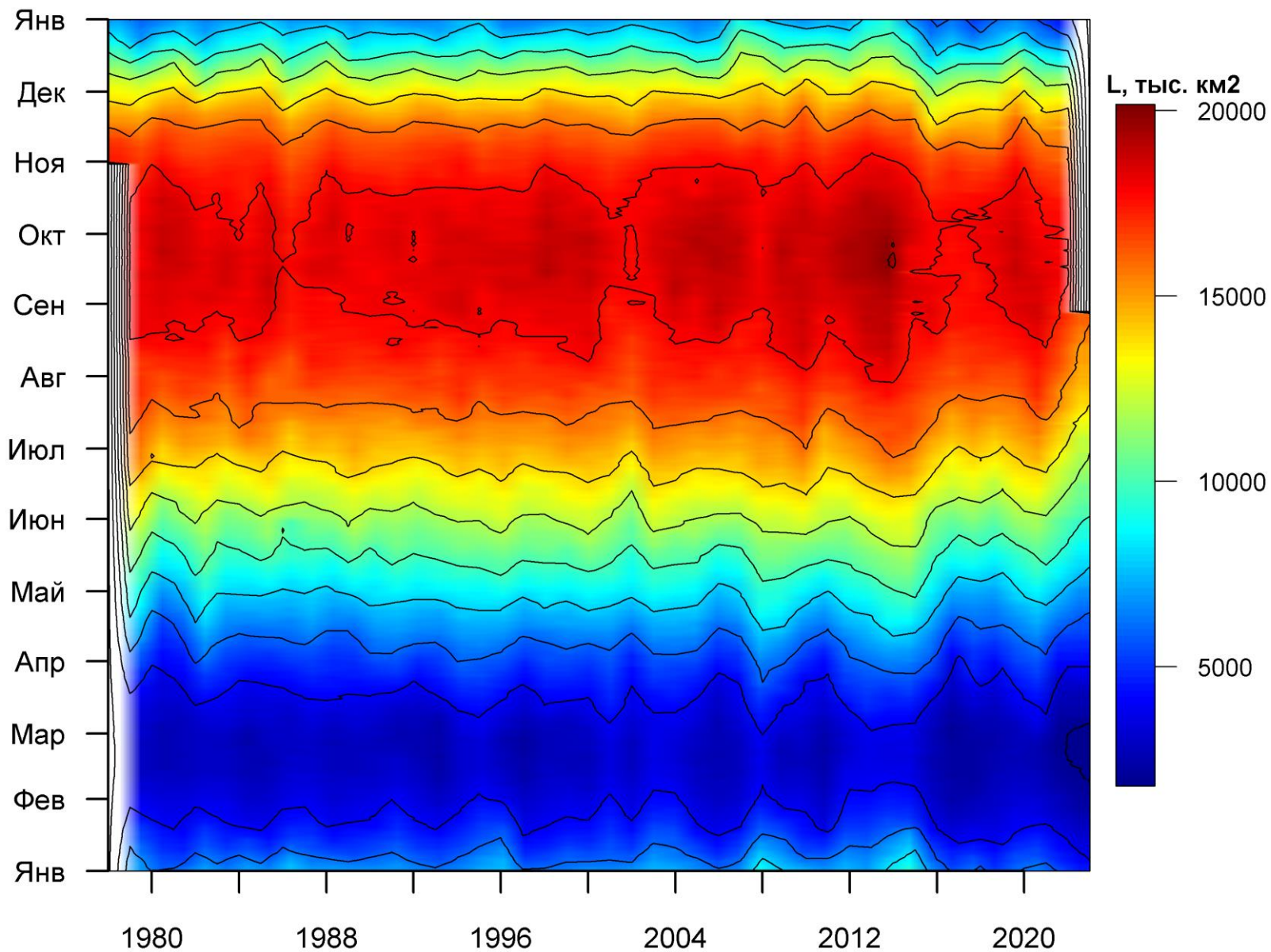


Рисунок 76 – Ежедневные оценки сезонных изменений ледовитости для Южного океана за период 26.10.1978 – 28.08.2023 на основе расчетов по данным SSMR-SSM/I-SSMIS, алгоритм NASATEAM.

Таблица 5 – Динамика изменения значений ледовитости по сравнению с предыдущей неделей для морей Южного океана за 21.08– 28.08.2023 по данным наблюдений SSMR-SSM/I-SSMIS

Регион	Южный Океан	Атлантический сектор	Индоокеанский сектор	Тихоокеанский сектор
Разность	513.9	95.0	268.6	150.3
тыс.кв.км/сут.	73.4	13.6	38.4	21.5

Таблица 6 - Медианные значения ледовитости для Южного океана и 3 меридиональных секторов за текущие 30 и 7-дневные интервалы и её аномалии от 2016-2020 гг. и интервалов 2011-2021 гг. и 1978-2021 гг. по данным наблюдений SSMR-SSM

Южный Океан

Месяц	S, тыс. км2	Аномалии, тыс км2/%						
		2018 г	2019 г	2020 г	2021 г	2022 г	2013-2023гг	1978-2023гг
28.07-27.08	15297.3	-1892.7	-1914.9	-2096.6	-2670.6	-1460.5	-2082.5	-2228.0
		-11.0	-11.1	-12.1	-14.9	-8.7	-12.0	-12.7
21-27.08	16043.1	-1667.5	-1737.9	-2103.6	-2480.4	-1333.0	-1900.3	-1990.2
		-9.4	-9.8	-11.6	-13.4	-7.7	-10.6	-11.0

Атлантический сектор (60°W-30°E, море Уэдделла)

Месяц	S, тыс. км2	Аномалии, тыс км2/%						
		2018 г	2019 г	2020 г	2021 г	2022 г	2013-2023гг	1978-2023гг
28.07-27.08	5960.2	-439.9	-1090.2	-1322.1	-1166.3	-413.1	-859.2	-976.6
		-6.9	-15.5	-18.2	-16.4	-6.5	-12.6	-14.1
21-27.08	6135.2	-511.3	-1228.1	-1456.2	-1286.0	-587.9	-927.1	-981.0
		-7.7	-16.7	-19.2	-17.3	-8.7	-13.1	-13.8

Индоокеанский сектор (30°E-150°E, моря Космонавтов, Содружества, Моусона)

Месяц	S, тыс. км2	Аномалии, тыс км2/%						
		2018 г	2019 г	2020 г	2021 г	2022 г	2013-2023гг	1978-2023гг
28.07-27.08	3581.1	-249.6	-338.5	-254.3	-657.7	-178.3	-418.9	-486.1
		-6.5	-8.6	-6.6	-15.5	-4.7	-10.5	-12.0
21-27.08	3925.6	-105.5	-278.3	6.3	-490.0	-60.3	-290.9	-361.5
		-2.6	-6.6	0.2	-11.1	-1.5	-6.9	-8.4

Тихоокеанский сектор (150°E-60°W, моря Росса, Беллингаузена)

Месяц	S, тыс. км2	Аномалии, тыс км2/%						
		2018 г	2019 г	2020 г	2021 г	2022 г	2013-2023гг	1978-2023гг
28.07-27.08	5756.0	-1203.2	-486.1	-520.3	-846.5	-869.1	-804.4	-765.3
		-17.3	-7.8	-8.3	-12.8	-13.1	-12.3	-11.7
21-27.08	5982.2	-1050.8	-231.6	-653.8	-704.5	-684.9	-682.3	-647.7
		-14.9	-3.7	-9.9	-10.5	-10.3	-10.2	-9.8

Таблица 7 – Экстремальные значения ледовитости для Южного океана и 3 меридиональных секторов за текущий 7-дневный интервал по Южный Океан

Южный Океан

Месяц	Минимальное знач.	Максимальное знач.	Среднее знач.	Медиана
21-27.08	15809.1 21.08.2023	19171.9 22.08.2014	18033.3	18054.9

Атлантический сектор (60°W-30°E, море Уэдделла)

Месяц	Минимальное знач.	Максимальное знач.	Среднее знач.	Медиана
21-27.08	6080.7 21.08.2023	8071.6 21.08.1980	7116.2	7162.1

Индоокеанский сектор (30°E-150°E, моря Космонавтов, Содружества, Моусона)

Месяц	Минимальное знач.	Максимальное знач.	Среднее знач.	Медиана
21-27.08	3777.1 21.08.2015	5089.5 23.08.2014	4287.1	4218.3

Тихоокеанский сектор (150°E-60°W, моря Росса, Беллингаузена)

Месяц	Минимальное знач.	Максимальное знач.	Среднее знач.	Медиана
21-27.08	5827.8 21.08.2023	7492.5 21.08.2013	6629.9	6668.1

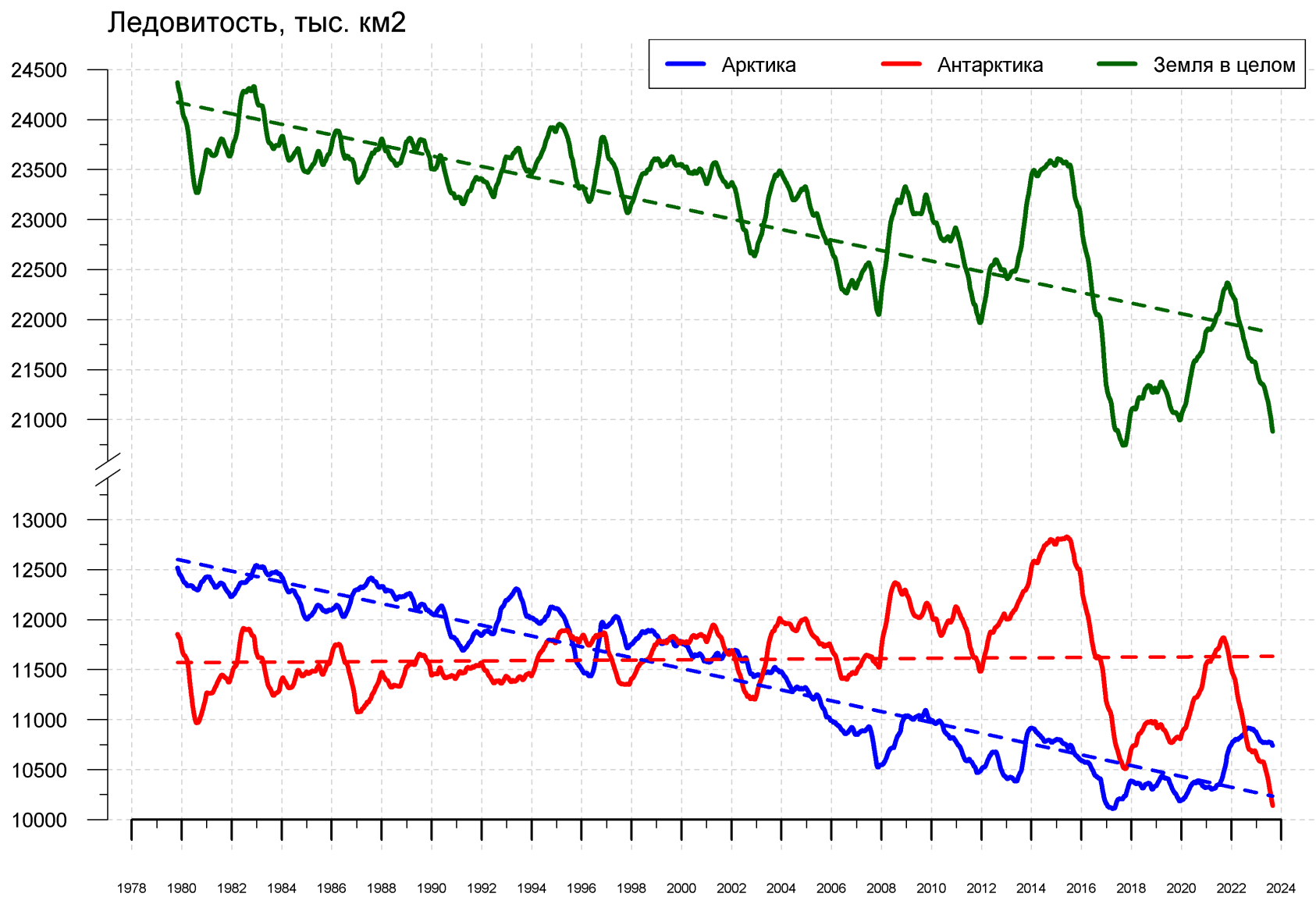


Рисунок 9 – Ежедневные сглаженные окном 365 суток значения ледовитости (площади распространения морского льда) Арктики, Антарктики и Земли в целом с 26.10.1978 по 28.08.2023 на основе SSMR-SSM/I-SSMIS

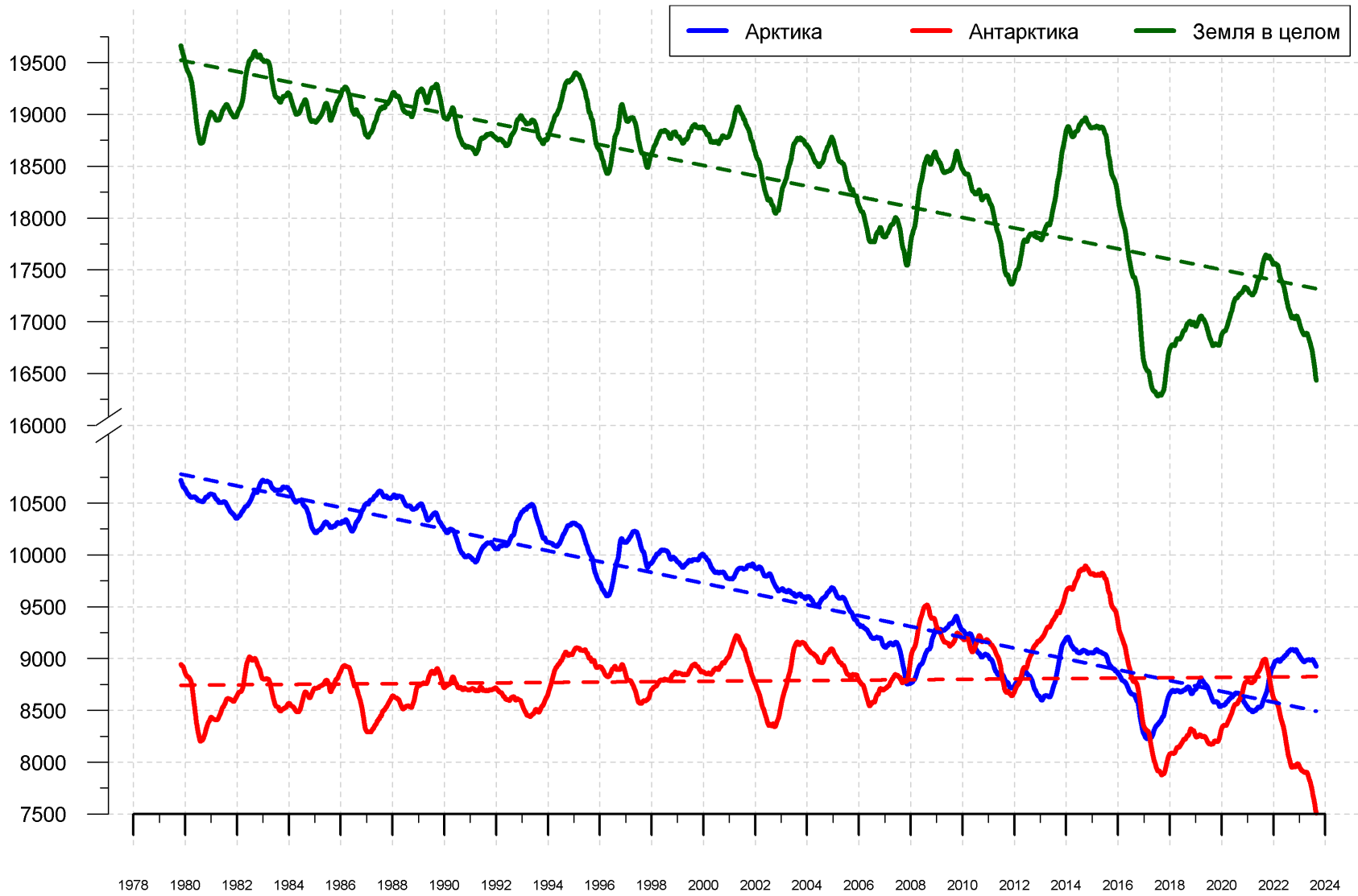


Рисунок 10 – Ежедневные сглаженные окном 365 суток значения приведенной ледовитости (площади морского льда) Арктики, Антарктики и Земли в целом с 26.10.1978 по 28.08.2023 на основе SSMR-SSM/I-SSMIS

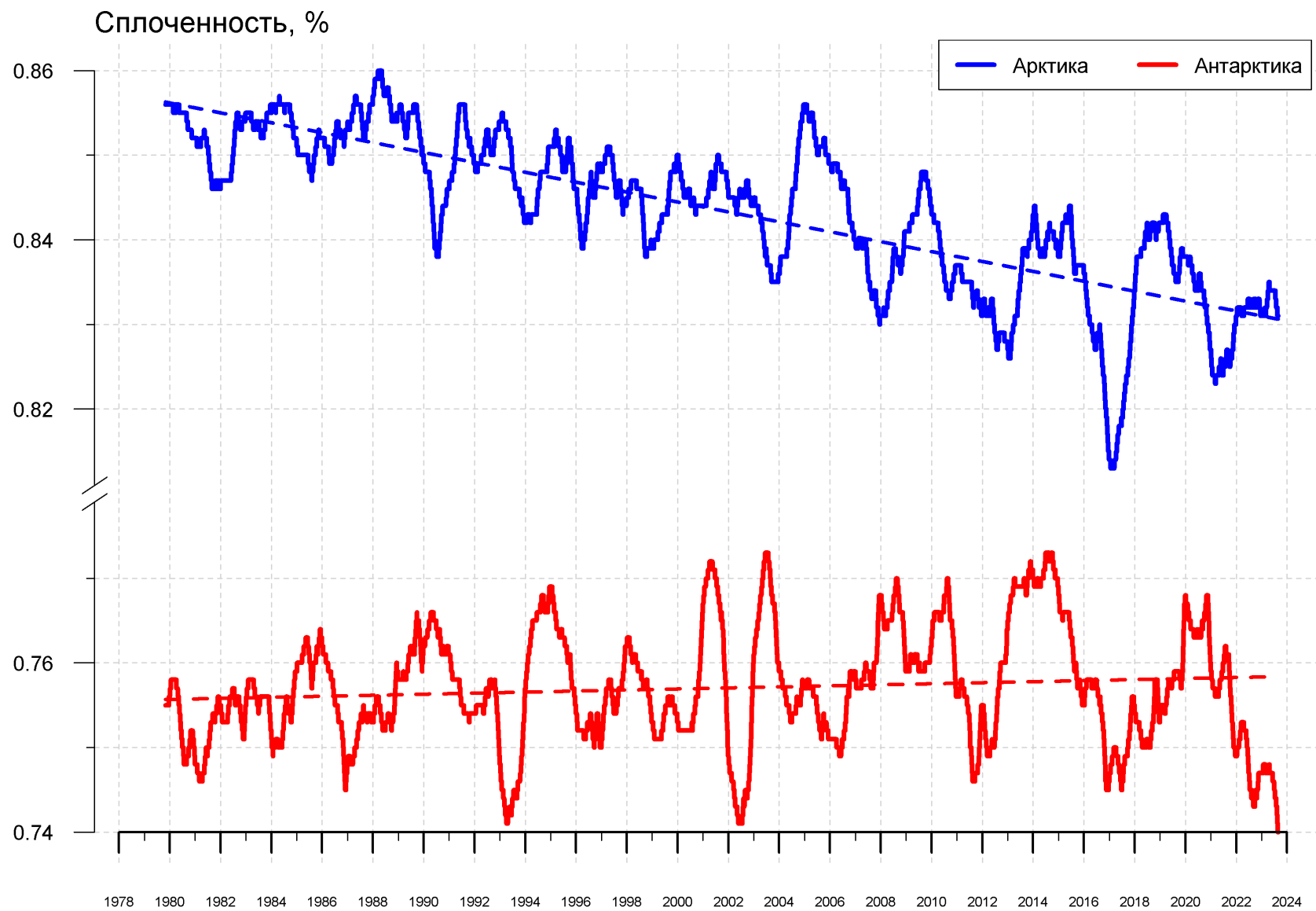


Рисунок 11 – Ежедневные сглаженные окном 365 суток значения средней общей сплоченности Арктики и Антарктики с 07.11.1978 по 28.08.2023 на основе SSMR-SSM/I-SSMIS

Приложение 1 – Статистические значения ледовитостей по отдельным акваториям Северной Полярной Области и Южного океана

Таблица 8 – Средние, аномалии среднего и экстремальные значения ледовитостей для Северной полярной области и её отдельных акваторий за текущие 7-дневный (неделя) и 30-дневный промежутки времени по данным наблюдений SSMR-SSM/I-SSMIS, алгоритм NASATEAM за период 1978-2020 гг.

21-27.08

Регион	S, тыс. км2	Аномалии, тыс км2/%							1978-2023гг			
		2007 г	2012 г	2020 г	2021 г	2022 г	2013-2023гг	1978-2023гг	Минимум дата	Максимум дата	Среднее	Медиана
Сев. полярная область	5096.4	217.7	914.0	427.4	-466.0	-532.0	-112.6	-1259.5	3963.4	8032.5	6355.9	6472.1
		4.5	21.9	9.2	-8.4	-9.5	-2.2	-19.8	27.08.2012	21.08.1996		
Сектор 45°W-95°E	1392.0	-76.7	120.4	386.6	277.0	131.1	200.4	-97.7	896.8	2132.8	1489.8	1433.4
		-5.2	9.5	38.5	24.8	10.4	16.8	-6.6	25.08.2018	23.08.1981		
Гренландское море	239.5	-121.9	-93.6	-19.6	131.9	-55.8	30.9	-44.6	77.2	534.2	284.1	283.9
		-33.7	-28.1	-7.6	122.5	-18.9	14.8	-15.7	24.08.2002	21.08.1981		
Баренцево море	29.4	-0.9	22.5	22.9	21.9	17.3	1.9	-32.7	0.0	242.4	62.1	41.0
		-2.9	325.0	352.1	293.3	143.1	6.8	-52.7	26.08.2015	26.08.1982		
Карское море	106.5	29.8	94.8	88.7	-33.6	64.1	50.0	-79.8	4.4	492.2	186.3	144.6
		38.8	810.3	498.8	-24.0	151.3	88.6	-42.8	21.08.2018	21.08.1980		
Сектор 95°E-170°W	1506.8	482.4	370.7	367.8	116.0	-305.3	-39.6	-561.6	972.7	2961.6	2068.4	2038.7
		47.1	32.6	32.3	8.3	-16.8	-2.6	-27.1	27.08.2012	21.08.1996		
Море Лаптевых	273.6	36.8	229.7	265.9	262.9	88.6	151.2	31.0	7.0	571.0	242.6	236.4
		15.5	523.5	3446.9	2450.3	47.9	123.6	12.8	22.08.2021	24.08.1996		
Восточно-Сибирское море	57.1	53.6	12.9	52.6	-8.1	-236.1	-116.8	-343.6	0.6	844.3	400.7	374.3
		1505.6	29.3	1165.2	-12.4	-80.5	-67.2	-85.7	24.08.2007	22.08.1996		
Чукотское море	20.2	18.6	-39.0	18.5	-129.0	-8.5	-16.3	-103.2	0.0	377.7	123.3	88.4
		1182.7	-65.9	1095.8	-86.5	-29.7	-44.7	-83.7	23.08.2009	21.08.1988		
Берингово море	5.4	5.4	5.4	1.9	1.3	0.1	2.1	4.6	0.0	12.5	0.8	0.0
		-	-	52.6	30.6	1.3	63.3	568.0	21.08.1979	24.08.2015		
Сектор 170°W-45°W	2197.6	-188.0	422.9	-327.0	-858.9	-357.9	-273.3	-600.1	1717.6	3610.0	2797.7	2901.7
		-7.9	23.8	-13.0	-28.1	-14.0	-11.1	-21.5	26.08.2012	21.08.1983		
Море Бофорта	73.7	-94.4	53.6	-185.0	-238.1	-152.7	-96.1	-168.5	15.4	478.5	242.3	250.3
		-56.2	266.0	-71.5	-76.4	-67.4	-56.6	-69.6	26.08.2012	25.08.1991		
Гудзонов залив	43.0	14.0	14.9	10.3	12.7	7.1	12.4	8.0	8.9	114.9	35.0	31.8
		48.1	53.0	31.7	41.9	19.7	40.5	22.8	26.08.2009	27.08.1980		
Море Лабрадор	0.6	-1.7	0.6	-0.7	-1.5	0.1	-1.1	-2.9	0.0	20.7	3.5	2.3
		-72.0	-	-51.6	-69.8	18.4	-64.1	-81.8	21.08.2007	26.08.2003		
Дейвисов пролив	33.8	10.6	18.4	12.8	9.0	6.3	11.2	6.3	5.4	140.1	27.5	22.5
		45.7	119.1	61.2	36.1	22.7	49.6	22.9	27.08.2017	21.08.1983		
Канадский архипелаг	302.6	-14.8	-28.4	-160.1	-247.6	-24.0	-142.9	-212.4	216.4	828.1	515.0	532.5
		-4.7	-8.6	-34.6	-45.0	-7.3	-32.1	-41.2	25.08.2011	22.08.1992		

28.07-27.08

Регион	S, тыс. км2	Аномалии, тыс км2/%							1978-2023гг			
		2007 г	2012 г	2020 г	2021 г	2022 г	2013-2023гг	1978-2023гг	Минимум дата	Максимум дата	Среднее	Медиана
Сев. полярная область	5999.5	364.4	716.0	484.3	-88.8	-369.0	73.4	-1041.7	3963.4	9588.4	7041.2	7132.2
		6.5	13.6	8.8	-1.5	-5.8	1.2	-14.8	27.08.2012	28.07.1983		
Сектор 45°W-95°E	1524.0	-33.6	192.8	354.1	292.2	231.9	228.8	-117.0	896.8	2641.1	1641.0	1599.6
		-2.2	14.5	30.3	23.7	17.9	17.7	-7.1	25.08.2018	28.07.1981		
Гренландское море	304.8	-73.7	-50.9	1.2	157.6	14.7	60.4	-22.4	77.2	588.9	327.2	323.6
		-19.5	-14.3	0.4	107.1	5.0	24.7	-6.8	24.08.2002	03.08.1981		
Баренцево море	37.8	-7.0	27.9	27.7	23.2	24.9	5.9	-46.8	0.0	378.0	84.6	64.8
		-15.6	283.3	276.3	158.9	194.0	18.4	-55.4	26.08.2015	28.07.1982		
Карское море	163.0	-13.8	140.4	120.5	-2.9	99.1	73.8	-96.4	4.4	794.1	259.5	219.1
		-7.8	621.2	283.0	-1.7	155.2	82.8	-37.2	21.08.2018	28.07.1981		
Сектор 95°E-170°W	1865.3	502.9	148.3	485.1	219.8	-231.1	29.7	-446.7	972.7	3217.8	2312.0	2352.2
		36.9	8.6	35.1	13.4	-11.0	1.6	-19.3	27.08.2012	28.07.1979		
Море Лаптевых	271.4	26.0	168.7	255.6	257.9	62.5	105.5	-30.1	7.0	661.5	301.5	282.5
		10.6	164.2	1616.8	1904.3	29.9	63.6	-10.0	17.08.2021	29.07.2004		
Восточно-Сибирское море	267.1	225.4	-5.0	204.5	33.7	-185.6	-30.8	-240.9	0.6	914.5	508.0	505.5
		539.7	-1.8	326.7	14.5	-41.0	-10.3	-47.4	24.08.2007	07.08.1996		
Чукотское море	54.9	46.5	-128.5	3.2	-108.6	-27.6	-18.7	-113.5	0.0	444.0	168.5	165.8
		547.7	-70.1	6.1	-66.4	-33.4	-25.4	-67.4	23.08.2009	28.07.1983		
Берингово море	8.2	7.5	7.5	2.1	1.2	1.8	3.3	6.4	0.0	32.9	1.8	0.0
		1181.8	1108.6	35.1	17.9	27.4	65.9	361.3	01.08.1981	29.07.2023		
Сектор 170°W-45°W	2610.2	-105.0	374.9	-354.9	-600.8	-369.8	-185.1	-478.1	1717.6	4400.1	3088.2	3125.2
		-3.9	16.8	-12.0	-18.7	-12.4	-6.6	-15.5	26.08.2012	29.07.1992		
Море Бофорта	108.9	-103.5	53.1	-192.2	-208.6	-165.1	-100.7	-163.6	15.4	478.5	272.5	281.3
		-48.7	95.1	-63.8	-65.7	-60.2	-48.0	-60.0	26.08.2012	25.08.1991		
Гудзонов залив	40.2	15.1	9.9	4.7	6.7	-0.1	6.3	-3.6	4.8	397.1	43.9	35.7
		60.2	32.5	13.2	19.9	-0.2	18.6	-8.2	10.08.1995	28.07.1992		
Море Лабрадор	1.2	-1.5	0.3	-0.7	-1.3	-0.4	-1.7	-3.0	0.0	42.0	4.2	2.8
		-55.5	28.1	-36.5	-51.5	-24.0	-59.0	-71.1	29.07.2009	15.08.1994		
Дейвисов пролив	40.2	13.3	15.5	13.7	13.1	-18.5	1.7	-13.5	5.4	264.8	53.7	33.1
		49.3	63.2	51.7	48.2	-31.5	4.5	-25.2	27.08.2017	30.07.1983		
Канадский архипелаг	453.0	-50.4	13.1	-102.0	-176.8	-47.8	-107.8	-183.8	216.4	1030.3	636.8	646.0
		-10.0	3.0	-18.4	-28.1	-9.6	-19.2	-28.9	25.08.2011	28.07.1983		

Таблица 9 – Средние, аномалии среднего и экстремальные значения ледовитостей для Южного океана и его отдельных акваторий за текущие 7-дневный (неделя) и 30-дневный промежутки времени по данным наблюдений SSMR-SSM/I-SSMIS, алгоритм NASATEAM за период 1978-2017 гг.
21-27.08

Регион	S, тыс. км2	Аномалии, тыс км2/%							1978-2023гг			
		2007 г	2012 г	2020 г	2021 г	2022 г	2013-2023гг	1978-2023гг	Минимум дата	Максимум дата	Среднее	Медиана
Южный Океан	16043.1	-1820.9	-2212.3	-2103.6	-2480.4	-1333.0	-1900.3	-1990.2	15809.1	19171.9	18033.3	18054.9
		-10.2	-12.1	-11.6	-13.4	-7.7	-10.6	-11.0	21.08.2023	22.08.2014		
Атлантический сектор	6135.2	-1191.9	-993.8	-1456.2	-1286.0	-587.9	-927.1	-981.0	6080.7	8071.6	7116.2	7162.1
		-16.3	-13.9	-19.2	-17.3	-8.7	-13.1	-13.8	21.08.2023	21.08.1980		
Западная часть моря Уэдделла	2268.3	-199.2	-21.5	-304.8	-228.1	-24.4	-184.1	-210.5	2149.5	3139.8	2478.8	2458.1
		-8.1	-0.9	-11.8	-9.1	-1.1	-7.5	-8.5	21.08.2003	21.08.1980		
Восточная часть моря Уэдделла	3866.9	-992.7	-972.2	-1151.3	-1057.8	-563.4	-743.0	-770.5	3758.2	5447.1	4637.5	4652.3
		-20.4	-20.1	-22.9	-21.5	-12.7	-16.1	-16.6	21.08.2023	26.08.1992		
Индоокеанский сектор	3925.6	57.9	-588.7	6.3	-490.0	-60.3	-290.9	-361.5	3777.1	5089.5	4287.1	4218.3
		1.5	-13.0	0.2	-11.1	-1.5	-6.9	-8.4	21.08.2015	23.08.2014		
Море Космонавтов	894.6	-29.2	-253.7	-187.0	-267.3	-130.1	-208.5	-210.4	860.4	1505.4	1105.0	1101.6
		-3.2	-22.1	-17.3	-23.0	-12.7	-18.9	-19.0	23.08.2023	26.08.2010		
Море Содружества	1297.6	-155.5	-159.2	31.7	-177.2	71.1	-59.1	-156.5	1062.1	1826.2	1454.0	1450.8
		-10.7	-10.9	2.5	-12.0	5.8	-4.4	-10.8	21.08.2015	27.08.2006		
Море Моусона	1733.5	242.6	-175.9	161.6	-45.4	-1.3	-23.3	5.4	1385.3	2296.4	1728.1	1710.7
		16.3	-9.2	10.3	-2.6	-0.1	-1.3	0.3	25.08.2002	27.08.1982		
Тихоокеанский сектор	5982.2	-686.8	-629.8	-653.8	-704.5	-684.9	-682.3	-647.7	5827.8	7492.5	6629.9	6668.1
		-10.3	-9.5	-9.9	-10.5	-10.3	-10.2	-9.8	21.08.2023	21.08.2013		
Море Росса	4636.1	-990.4	-809.2	-948.2	-786.1	-1392.6	-812.3	-804.3	4582.8	6208.1	5440.4	5482.3
		-17.6	-14.9	-17.0	-14.5	-23.1	-14.9	-14.8	21.08.2023	27.08.2000		
Море Беллинсгаузена	1346.1	303.5	179.4	294.4	81.7	707.7	130.0	156.6	433.4	1612.5	1189.5	1191.6
		29.1	15.4	28.0	6.5	110.9	10.7	13.2	22.08.2022	23.08.2015		

28.07-27.08

Регион	S, тыс. км2	Аномалии, тыс км2/%							1978-2023гг			
		2007 г	2012 г	2020 г	2021 г	2022 г	2013-2023гг	1978-2023гг	Минимум дата	Максимум дата	Среднее	Медиана
Южный Океан	15297.3	-2252.3	-2547.0	-2096.6	-2670.6	-1460.5	-2082.5	-2228.0	14561.4	19171.9	17525.3	17579.2
		-12.8	-14.3	-12.1	-14.9	-8.7	-12.0	-12.7	28.07.2023	22.08.2014		
Атлантический сектор	5960.2	-1229.5	-927.1	-1322.1	-1166.3	-413.1	-859.2	-976.6	5776.6	8079.9	6936.8	6965.5
		-17.1	-13.5	-18.2	-16.4	-6.5	-12.6	-14.1	28.07.2023	08.08.1992		
Западная часть моря Уэдделла	2325.9	-237.3	-18.0	-189.5	-72.8	20.6	-82.7	-143.1	2067.9	3226.4	2469.0	2429.1
		-9.3	-0.8	-7.5	-3.0	0.9	-3.4	-5.8	13.08.1983	17.08.1980		
Восточная часть моря Уэдделла	3634.4	-992.2	-909.2	-1132.6	-1093.6	-433.7	-776.5	-833.5	3380.3	5447.1	4467.8	4518.9
		-21.4	-20.0	-23.8	-23.1	-10.7	-17.6	-18.7	15.08.1986	26.08.1992		
Индоокеанский сектор	3581.1	-66.9	-804.1	-254.3	-657.7	-178.3	-418.9	-486.1	3171.8	5089.5	4067.2	4081.2
		-1.8	-18.3	-6.6	-15.5	-4.7	-10.5	-12.0	29.07.2002	23.08.2014		
Море Космонавтов	821.4	-30.9	-302.9	-214.5	-257.2	-191.3	-203.1	-204.4	566.2	1505.4	1025.8	1029.7
		-3.6	-26.9	-20.7	-23.8	-18.9	-19.8	-19.9	07.08.1981	26.08.2010		
Море Содружества	1156.7	-225.6	-260.4	-74.6	-272.6	-74.8	-139.2	-228.5	930.0	1826.2	1385.2	1388.0
		-16.3	-18.4	-6.1	-19.1	-6.1	-10.7	-16.5	08.08.1979	27.08.2006		
Море Моусона	1603.0	189.5	-240.9	34.8	-127.9	87.8	-76.6	-53.2	1166.3	2296.4	1656.2	1655.4
		13.4	-13.1	2.2	-7.4	5.8	-4.6	-3.2	28.07.2018	27.08.1982		
Тихоокеанский сектор	5756.0	-955.8	-815.7	-520.3	-846.5	-869.1	-804.4	-765.3	5485.9	7493.3	6521.3	6539.4
		-14.2	-12.4	-8.3	-12.8	-13.1	-12.3	-11.7	30.07.1980	20.08.2013		
Море Росса	4567.5	-1085.1	-870.4	-778.9	-894.2	-1370.1	-853.6	-821.6	3986.2	6208.1	5389.0	5426.9
		-19.2	-16.0	-14.6	-16.4	-23.1	-15.7	-15.2	01.08.1980	27.08.2000		
Море Беллинсгаузена	1188.6	129.2	54.6	258.7	47.7	501.0	49.2	56.3	433.4	1662.0	1132.3	1135.2
		12.2	4.8	27.8	4.2	72.9	4.3	5.0	22.08.2022	03.08.1995		

Таблица 10 – Динамика изменения значений ледовитости по сравнению с предыдущей неделей для морей Северной полярной области и Южного океана за текущий 7-дневный (неделя) промежуток времени по данным наблюдений SSMIS

21-27.08				
Регион	Сев. полярная область	Сектор 45°W-95°E	Гренландское море	Баренцево море
Разность	-523.8	-72.5	-34.4	-0.4
тыс.кв.км/сут.	-74.8	-10.4	-4.9	-0.1
21-27.08				
Регион	Карское море	Сектор 95°E-170°W	Море Лаптевых	Восточно-Сибирское море
Разность	-40.4	-180.7	2.0	-118.2
тыс.кв.км/сут.	-5.8	-25.8	0.3	-16.9
21-27.08				
Регион	Чукотское море	Берингово море	Сектор 170°W-45°W	Море Бофорта
Разность	-7.0	0.0	-270.7	-20.2
тыс.кв.км/сут.	-1.0	0.0	-38.7	-2.9
21-27.08				
Регион	Гудзонов залив	Море Лабрадор	Дейвисов пролив	Канадский архипелаг
Разность	-1.4	0.6	5.5	-57.8
тыс.кв.км/сут.	-0.2	0.1	0.8	-8.3
21-27.08				
Регион	Южный Океан	Атлантический сектор	Западная часть моря Уэдделла	Восточная часть моря Уэдделла
Разность	513.9	95.0	-67.1	162.0
тыс.кв.км/сут.	73.4	13.6	-9.6	23.1
21-27.08				
Регион	Индоокеанский сектор	Море Космонавтов	Море Содружества	Море Моусона
Разность	268.6	-23.9	105.0	187.6
тыс.кв.км/сут.	38.4	-3.4	15.0	26.8
21-27.08				
Регион	Тихоокеанский сектор	Море Росса	Море Беллинсгаузена	
Разность	150.3	36.7	113.5	
тыс.кв.км/сут.	21.5	5.2	16.2	

Характеристика исходного материала и методика расчетов

Для иллюстрации ледовых условий Арктического региона представлены совмещенные региональные карты ААНИИ [4, 6], Канадской ледовой службы – КЛС [12], Национального ледового центра США – НЛЦ [10], Ледовой службы отделения Аляска НОАА [] и НИЦ Планета [9]. Совмещение карт выполнено путем перекрытия слоев отдельных ледовых служб в зависимости от времени ледового анализа. Карты ААНИИ характеризуют ледовые условия морей Гренландского...Бофорта, карты НИЦ Планета – Азовского, Каспийского, Берингова, Охотского, Японского, карты НЛЦ – Северных частей Тихого и Атлантического океанов и Арктического бассейна, вод Гренландии, Ледовой службы отделения Аляска НОАА – Берингово, Чукотское моря, КЛС - морей Бофорта, Канадского архипелага, Баффина, Девисова пролива, Лабрадор, Св. Лаврентия. Для ледовых условий и распределения айсбергов Южного океана использованы данные проекта по интегрированному ледовому анализу Южного океана – циркумполярные карты ААНИИ [5, 7], НЛЦ [10, 11] и карты акватории Антарктического полуострова Норвежского метеорологического института (НМИ) [21]. Для построения совмещенных карт используется архив данных в обменном формате ВМО СИГРИД-3 [18] Мирового центра данных по морскому льду (МЦД МЛ) – проекта ВМО «Глобальный Банк Цифровых Данных по Морскому Льду». В пределах отдельного срока выборка карт из архива проводится по критериям близости карт к сроку выпуска карты ААНИИ с максимальным интервалом времени между картами до 7 суток (день недели выпуска карт ААНИИ – вторник, Ледовой службы отделения Аляска НОАА – ежедневно, НИЦ Планета – понедельник-четверг, КЛС – понедельник, НЛЦ – четверг для морского льда и пятница – для крупных айсбергов Южного океана, НМИ - понедельник).

Для иллюстрации полей толщин льда СЛО использованы ежедневные данные по распределению средневзвешенной толщины льда численной модели НУСОМ-СІСЕ Датского метеорологического института (ДМИ) [20]. Численная модель НУСОМ-СІСЕ имеет разрешение 10x10 км и является совместной моделью морского льда – океана. Портал полярных данных ДМИ [22] используется также как источник данных по оценке объема льда СЛО, температуры поверхности океана/морского льда, аномалий температуры воздуха и поля приземного ветра.

Для иллюстрации ледовых условий Северной Полярной области и Южного океана за последние сутки используются ежедневные циркумполярные ледовые информационные продукты НЛЦ США по оценке расположения кромки льда и ледяных массивов - MIZ (Marginal Ice Zone).

Для цветовой окраски карт использован стандарт ВМО (WMO/Td. 1215) [19] для зимнего (по возрасту) и летнего (по общей сплоченности) периодов. Следует также отметить, что в зонах стыковки карт ААНИИ, Ледовой службы отделения Аляска НОАА, КЛС и НЛЦ наблюдается определенная несогласованность границ и характеристик ледовых зон вследствие ряда различий в ледовых информационных системах подготавливающих служб. Однако, данная несогласованность несущественна для целей интерпретации ледовых условий в рамках настоящего обзора.

Для получения оценок ледовитости (extent) и приведенной ледовитости – площади льда (area) отдельных секторов, морей, частей морей Северной полярной области и Южного океана и климатического положения кромок заданной повторяемости на основе данных спутниковых систем пассивного микроволнового зондирования SSMR-SSM/I-SSMIS [17] в МЦД МЛ ААНИИ принята следующая технология расчетов:

- источник данных – архивные (Cavalieri et al., 2008, Meier et al., 2006) и квазиоперативные (Maslanik and Stroeve, 1999) с задержкой 1-2 дня ежедневные матрицы (поля распределения) оценок общей сплоченности Северной (севернее 45° с.ш.) и Южной (южнее 50° с.ш.) Полярных областей на основе обработанных по алгоритму NASATEAM данных многоканальных микроволновых радиометров SSMR-SSM/I-SSMIS ИСЗ NIMBUS-7 и DMSP за период с 26.10.1978 г. по настоящий момент времени [13, 14, 15], копируемые с сервера НЦДСЛ;

- область расчета – Северная и Южная Полярные области и их регионы с использованием масок океан/суша НЦДСЛ (http://nsidc.org/data/polar_stereo/tools_masks.html);
- границы используемых масок расчета отдельных меридиональных секторов, морей, частей морей Северной полярной области и Южного океана представлены на рисунках П1 – П6, не совпадают с используемыми в НЦДСЛ масками для отдельных акваторий Мирового океана и основаны на номенклатуре ААНИИ для морей Евразийского шельфа (Гренландское - Чукотское), Атласе Северного ледовитого океана (1980) и Атласе океанов (1980) издательства ГУНИО МО [1, 2, 3].
- вычислительные особенности расчета – авторское программное обеспечение ААНИИ с сохранением точности расчетов и оценке статистических параметров по гистограмме распределения и свободно-распространяемое программное обеспечение GDAL для векторизации полей климатических параметров;

В графическом формате PNG совмещенные карты ААНИИ-КЛС-НЛЦ Ледовой службы отделения Аляска НОАА доступны по адресу <http://wdc.aari.ru/datasets/d0040>.

Результаты расчетов ледовитости Северной, Южной полярных областей, их отдельных меридиональных секторов, морей и частей морей доступны на сервере МЦД МЛ ААНИИ в каталогах соответственно <http://wdc.aari.ru/datasets/ssmi/data/north/extent/> и <http://wdc.aari.ru/datasets/ssmi/data/south/extent/>.

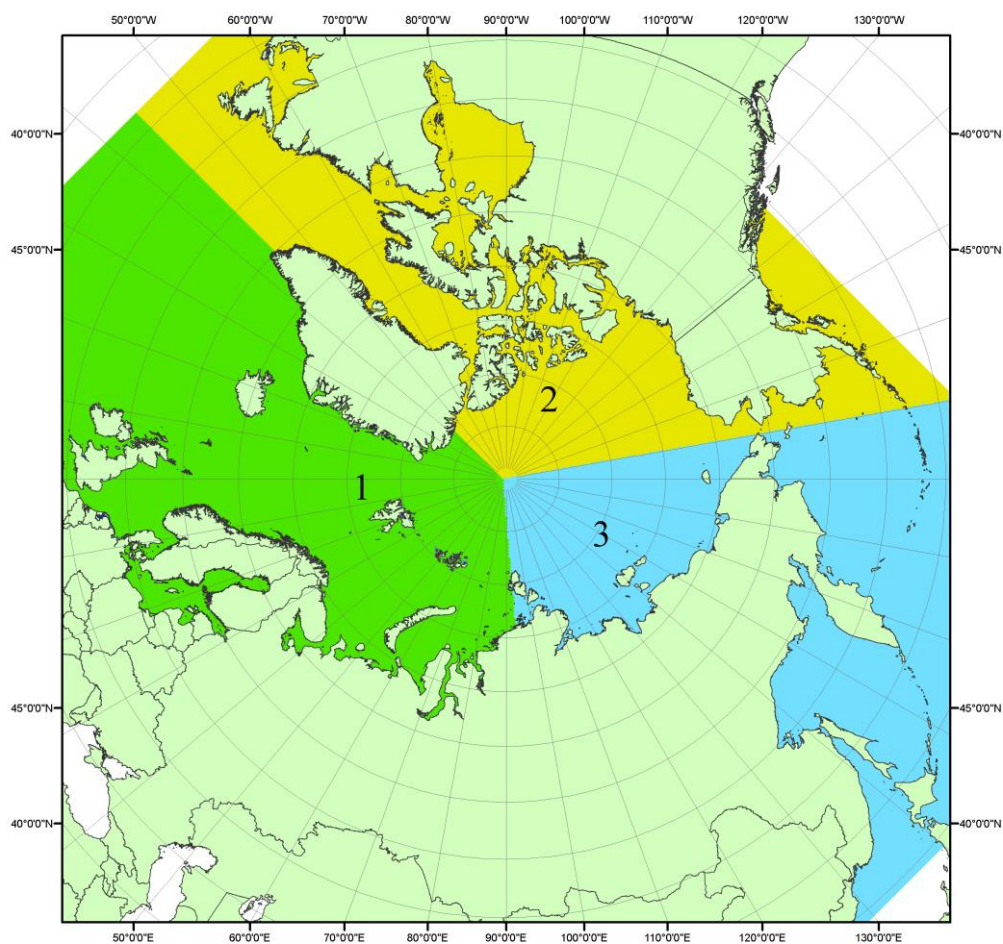


Рисунок П1 – Секторальное деление северной полярной области. 1 - Сектор 45°W-95°E (Гренландское - Карское моря); 2 - Сектор 170°W-45°W (море Бофорта и Канадская Арктика); 3 - Сектор 95°E-170°W (моря Лаптевых - Чукотское, Берингово, Охотское, Японское)

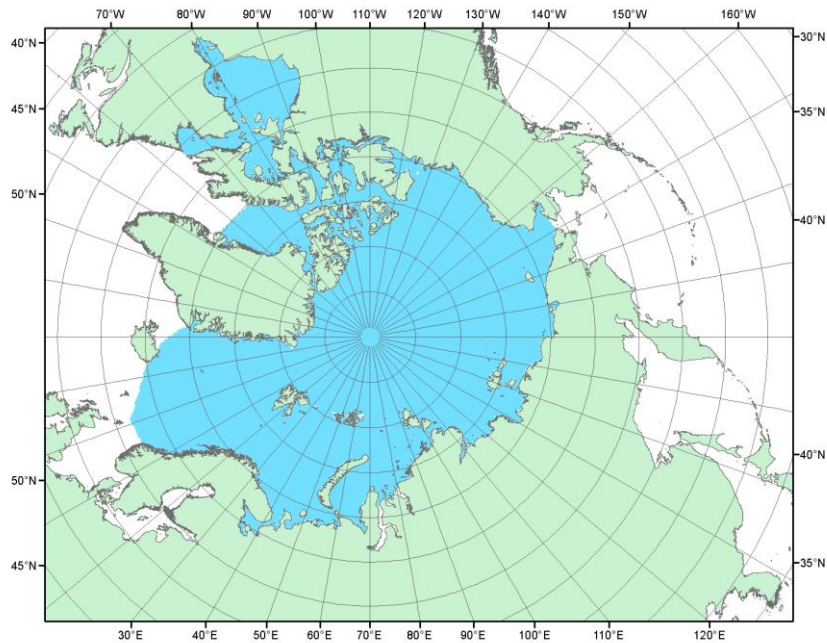


Рисунок П2 – Северный ледовитый океан в официальных границах

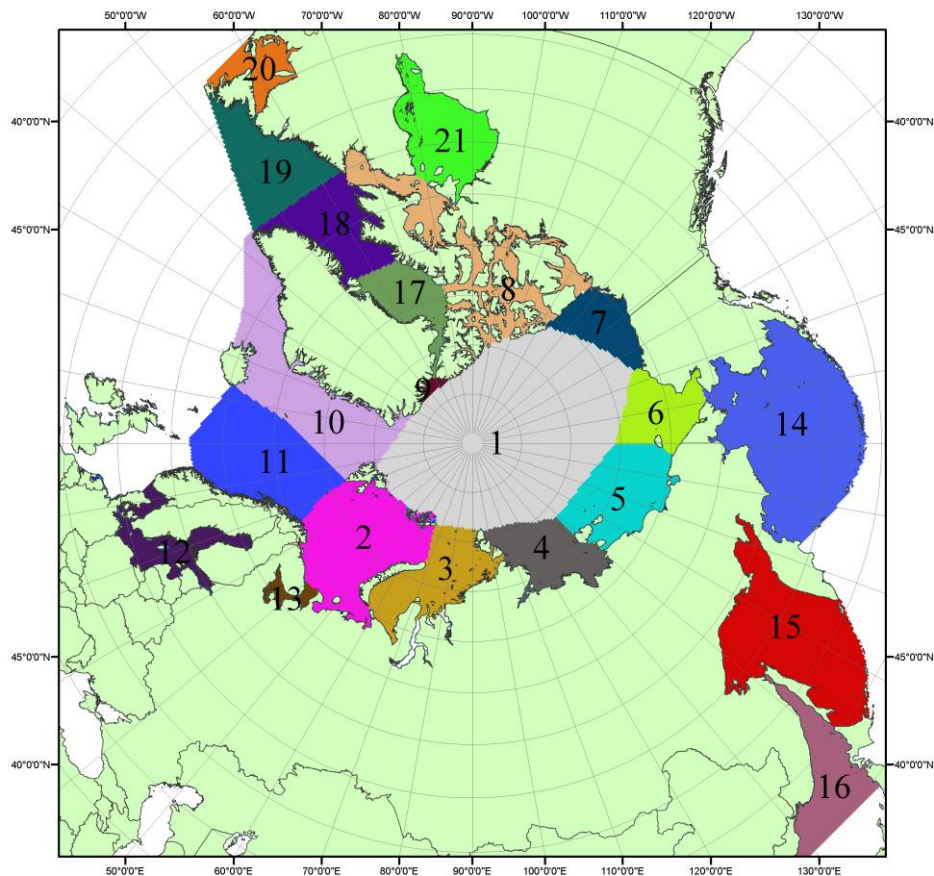


Рисунок П3 – моря северной полярной области. 1 – Арктический бассейн; 2- Баренцево море; 3 – Карское море; 4 – море Лаптевых; 5 - Восточно-Сибирское море; 6 – Чукотское море; 7 – море Бофорта; 8 – Канадский архипелаг; 9 – море Линкольна; 10 – Гренландское море; 11 – Норвежское море; 12 – Балтийское море; 13 – Белое море; 14 – Берингово море; 15 – Охотское море; 16 – Японское море; 17 – море Баффина; 18 – Дейвисов пролив; 19 – море Лабрадор; 20 – залив Святого Лаврентия; 21 – Гудзонов залив.

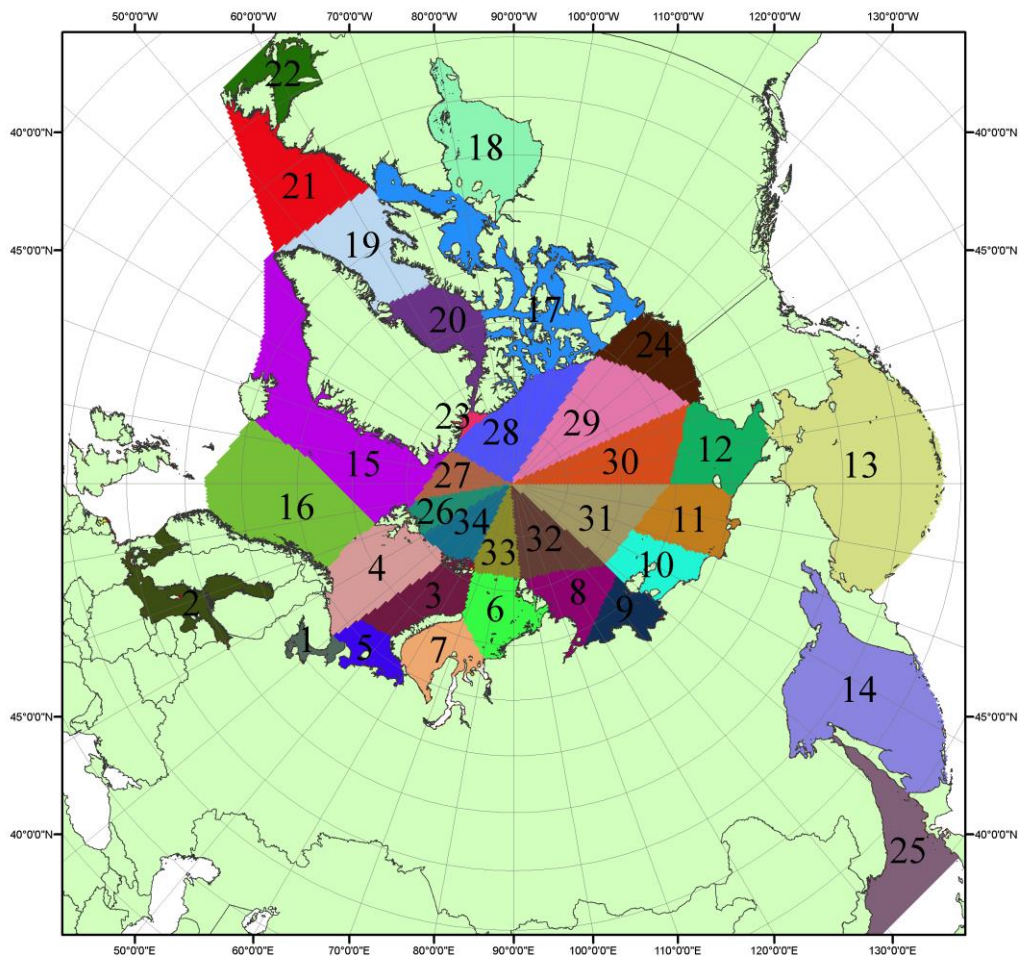


Рисунок П4 – Сектора и моря северной полярной области. 1 - Белое море; 2- Балтийское море; 3 – Баренцево море (СВ); 4 – Баренцево море (З); 5 - Баренцево море (ЮВ); 6 – Карское море (СВ); 7 – Карское море (ЮЗ); 8 – море Лаптевых (В); 9 – море Лаптевых (З); 10 – Восточно-Сибирское море (З); 11 – Восточно-Сибирское море (В); 12 – Чукотское море; 13 – Берингово море; 14 – Охотское море; 15 – Гренландское море; 16 – Норвежское море; 17 – Канадский архипелаг; 18 – Гудзонов залив; 19 – Дейвисов пролив; 20 - море Баффина; 21 – море Лабрадор; 22 - залив Святого Лаврентия; 23 - море Линкольна; 24 - море Бофорта; 25 - Японское море; 26 - сектор АО (30°з.д. – 10°в.д.); 27 – сектор АО (10°в.д. – 30°в.д.); 28 - сектор АО (30°в.д. – 65°в.д.); 29 - сектор АО (65°в.д. – 96°в.д.); 30 - сектор АО (96°в.д. – 140°в.д.); 31 - сектор АО (140°в.д. – 180°в.д.); 32 - сектор АО (180°в.д. – 156°з.д.); 33 - сектор АО (156°з.д. – 123°з.д.); 34 - сектор АО (123°з.д. – 30°з.д.).

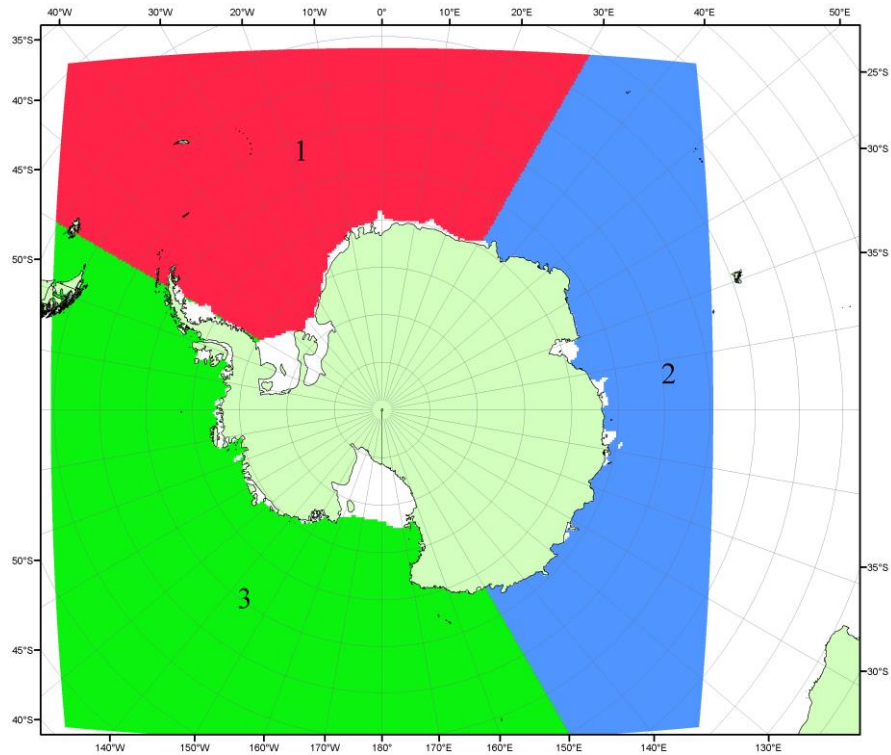


Рисунок П5 – Секторальное деление Южного океана. 1 - Атлантический сектор (60°W-30°E, море Уэдделла); 2 - Индоокеанский сектор (30°E-150°E, моря Космонавтов, Содружества, Моусона); 3 - Тихоокеанский сектор (150°E-60°W, моря Росса, Беллингаузена)

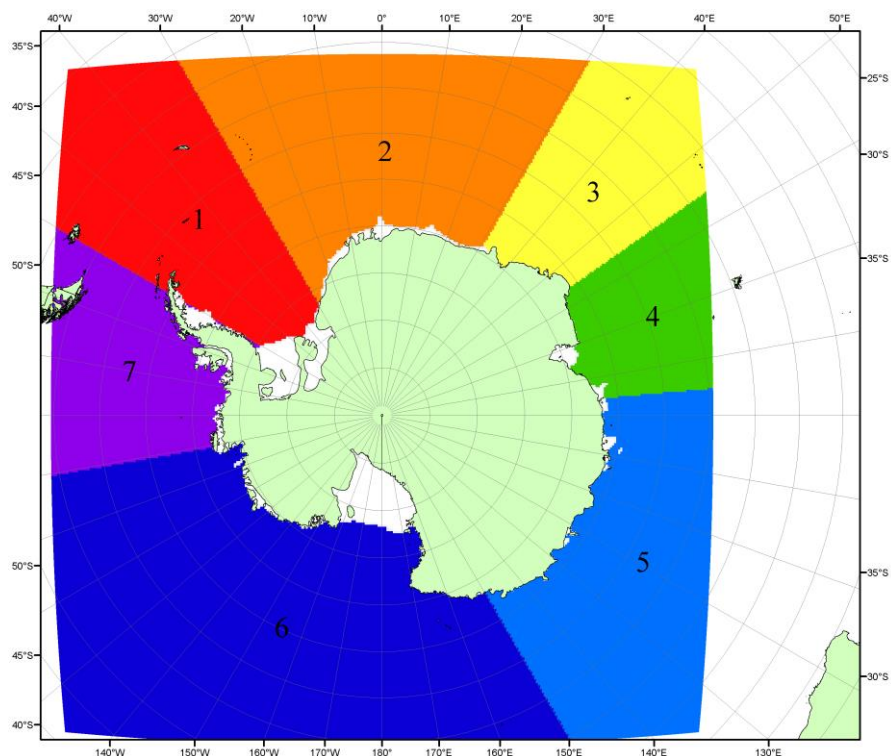


Рисунок П6 – Моря Южного океана. 1 – Западная часть моря Уэдделла; 2- Восточная часть моря Уэдделла; 3 – Море Космонавтов; 4 – море Содружества; 5 – море Моусона; 6 – море Росса; 7 – Море Беллингаузена.

СПИСОК ИСТОЧНИКОВ

1. Атлас океанов. Северный Ледовитый океан. – 1980. М: Изд. ГУНИО МО СССР ВМФ – 184 с.
2. Атлас океанов. Термины. Понятия. Справочные таблицы. - Изд. ВМФ МО СССР.-1980.
3. Границы океанов и морей. – 1960. Л.: Изд. ГУНИО ВМФ. – 51 с.
4. Обзорные ледовые карты ФГБУ «ААНИИ» Северного Ледовитого океана за 2008-2018 гг. в обменном формате ВМО СИГРИД-3 // Мировой центр данных по морскому льду - Глобальный банк данных по морскому льду – <http://wdc.aari.ru/datasets/d0015>.
5. Комплексные ледовые карты ФГБУ «ААНИИ» Южного океана за 2014-2018 гг. в обменном формате ВМО СИГРИД-3 // Мировой центр данных по морскому льду - Глобальный банк данных по морскому льду – <http://wdc.aari.ru/datasets/d0015>.
6. Комплексные ледовые карты ФГБУ «ААНИИ» арктических и замерзающих морей России за 1997-2018 гг. в обменном формате ВМО СИГРИД-3 // Мировой центр данных по морскому льду - Глобальный банк данных по морскому льду – <http://wdc.aari.ru/datasets/d0004>.
7. Карты ФГБУ «ААНИИ» анализа крупных айсбергов Южного океана за 2014-2018 гг. в обменном формате ВМО СИГРИД-3 // Мировой центр данных по морскому льду - Глобальный банк данных по морскому льду – <http://wdc.aari.ru/datasets/d0015>.
8. Комплексные ледовые карты ФГБУ «Гидрометцентр России» Азовского, Каспийского и Белого морей за 2000-2017 гг. в обменном формате ВМО СИГРИД-3 // Мировой центр данных по морскому льду - Глобальный банк данных по морскому льду – <http://wdc.aari.ru/datasets/d0033>.
9. Комплексные ледовые карты ФГБУ «НИЦ Планета» Азовского, Каспийского, Берингова, Охотского и Японского морей за 2016-2018 гг. в обменном формате ВМО СИГРИД-3 // Мировой центр данных по морскому льду - Глобальный банк данных по морскому льду – <http://wdc.aari.ru/datasets/d0034>.
10. Комплексные ледовые карты Северной полярной области и Южного океана Национального ледового центра США за 2003-2018 гг. в обменном формате ВМО СИГРИД-3 // Мировой центр данных по морскому льду - Глобальный банк данных по морскому льду – <http://wdc.aari.ru/datasets/d0032>.
11. Карты анализа крупных айсбергов Южного океана Национального ледового центра США за 2014-2018 гг. в обменном формате ВМО СИГРИД-3 // Мировой центр данных по морскому льду - Глобальный банк данных по морскому льду – <http://wdc.aari.ru/datasets/d0032>.
12. Комплексные ледовые карты Канадской Арктики Канадской ледовой службы за 2006-2018 гг. в обменном формате ВМО СИГРИД-3 // Мировой центр данных по морскому льду - Глобальный банк данных по морскому льду – <http://wdc.aari.ru/datasets/d0031>.
13. Cavalieri, D., C. Parkinson, P. Gloersen, and H. J. Zwally. 1996, updated 2008. *Sea Ice Concentrations from Nimbus-7 SMMR and DMSP SSM/I Passive Microwave Data*, [1978.10.26 – 2007.12.31]. Boulder, Colorado USA: National Snow and Ice Data Center. Digital media.
14. Meier, W., F. Fetterer, K. Knowles, M. Savoie, M. J. Brodzik. 2006, updated quarterly. *Sea Ice Concentrations from Nimbus-7 SMMR and DMSP SSM/I Passive Microwave Data*, [2008.01.01 – 2008.03.25]. Boulder, Colorado USA: National Snow and Ice Data Center. Digital media.
15. Maslanik, J., and J. Stroeve. 1999, updated daily. *Near-Real-Time DMSP SSM/I-SSMIS Daily Polar Gridded Sea Ice Concentrations*, [2008.03.26 – present moment]. Boulder, Colorado USA: National Snow and Ice Data Center. Digital media.
16. Andersen, S., R. Tonboe, L. Kaleschke, G. Heygster, and L. T. Pedersen, Intercomparison of passive microwave sea ice concentration retrievals over the high-concentration Arctic sea ice.// *J. Geophys. Res.* – 2007. – Vol. 112. C08004, doi:10.1029/2006JC003543.
17. Статистические характеристики сплоченности морского льда Северной полярной области и Южного океана на основе данных наблюдений SSMR-SSM/I-SSMIS, алгоритм NASATEAM // Мировой центр данных по морскому льду - Глобальный банк данных по морскому льду – <http://wdc.aari.ru/datasets/ssmi>.

18. SIGRID-3: A vector archive format for Sea Ice Georeferenced Information and Data - JCOMM Technical Report Series No. 23, 2014, WMO/TD-No.1214.
19. Ice Chart Colour Code Standard. - JCOMM Technical Report Series No. 24, 2004, WMO/TD-No.1215.
(http://jcomm.info/index.php?option=com_oe&task=viewDocumentRecord&docID=4914)
20. Danish Meteorological Institute North Atlantic - Arctic Ocean model HYCOM-CICE - <http://ocean.dmi.dk/models/hycom.uk.php>
21. Портал данных ледового анализа Южного океана Норвежского метеорологического института - <http://polarview.met.no/Antarctic.html>
22. Портал полярных данных Датского метеорологического института - <http://polarportal.dk>
23. Комплексные ледовые карты Берингова и чукотского морей Ледовой службы отделения НОАА Аляска в обменном формате ВМО СИГРИД-3 // <https://www.weather.gov/>.